

RECOMMANDATION UIT-R P.832-1

ATLAS MONDIAL DE LA CONDUCTIVITÉ DU SOL

(1992-1997)

L'Assemblée des radiocommunications de l'UIT,

considérant

- a) qu'il est indispensable pour les prévisions du champ de l'onde de sol, de connaître les caractéristiques électriques le long du trajet. Dans les cas qui impliquent une coordination entre administrations, il est souvent nécessaire de connaître les caractéristiques du sol en dehors des frontières nationales;
- b) que la caractéristique électrique de la terre la plus importante pour les fréquences inférieures à 3 MHz est la conductivité;
- c) qu'on a besoin de cartes de conductivité appropriées pour planifier des services de radiocommunication de tous types, y compris des services de navigation, dans les bandes d'ondes myriamétriques, kilométriques et hectométriques;
- d) que des cartes de conductivité ne sont pas encore disponibles dans toutes les administrations;
- e) que les systèmes de navigation à longue portée utilisent les informations relatives à la phase de l'onde de sol, que les trajets traversent souvent plusieurs pays et qu'il est important de disposer de renseignements fiables sur la conductivité tout le long du trajet;
- f) qu'il est important de conserver des renseignements précis sur les conditions secondaires de phase, qui dépendent aussi de la conductivité,

recommande

- 1** que l'on utilise l'information contenue à l'Annexe 1, qui donne un Atlas mondial de la conductivité du sol, pour obtenir les meilleures estimations de conductivité pour la planification;
- 2** que l'on utilise les valeurs types indiquées au Tableau 1 pour présenter des cartes de conductivité nouvelles ou révisées pour actualiser l'Atlas.

ANNEXE 1

Atlas mondial de la conductivité du sol**1 Introduction**

La présente Annexe donne des renseignements sur la conductivité du sol dans diverses régions du monde, sous la forme d'un Atlas mondial de la conductivité du sol. Ces renseignements doivent servir à faire des prévisions de champ au sujet des courbes de propagation de l'onde de sol qui se trouvent dans la Recommandation UIT-R P.368.

2 Elaboration des cartes de conductivité

Pour ses travaux relatifs à l'Atlas mondial, l'UIT-R a besoin de renseignements provenant de toutes les administrations. On a jusqu'ici présenté les cartes de conductivité de diverses façons, mais il serait utile qu'elles soient désormais présentées pour les mêmes ensembles types de valeurs de la conductivité comme indiqué dans la Recommandation UIT-R P.368 et dans le Tableau 1.

3 L'Atlas

Le contenu de l'Atlas est le suivant:

Fig. 1 à 6: cartes de conductivité pour les ondes myriamétriques

Fig. 7 à 43: cartes de conductivité pour les ondes hectométriques.

TABLEAU 1

**Valeurs types et gammes de la conductivité du sol
pour la présentation des cartes**

Valeurs types (S/m)	Valeurs limites de la gamme (S/m)	
	Limite supérieure	Limite inférieure
5	7	3
3×10^{-2}	$5,5 \times 10^{-2}$	$1,7 \times 10^{-2}$
10^{-2}	$1,7 \times 10^{-2}$	$5,5 \times 10^{-3}$
3×10^{-3}	$5,5 \times 10^{-3}$	$1,7 \times 10^{-3}$
10^{-3}	$1,7 \times 10^{-3}$	$5,5 \times 10^{-4}$
3×10^{-4}	$5,5 \times 10^{-4}$	$1,7 \times 10^{-4}$
10^{-4}	$1,7 \times 10^{-4}$	$5,5 \times 10^{-5}$
3×10^{-5}	$5,5 \times 10^{-5}$	$1,7 \times 10^{-5}$
10^{-5}	$1,7 \times 10^{-5}$	$5,5 \times 10^{-6}$

3.1 Les cartes de conductivité pour la gamme des ondes myriamétriques (Fig. 1 à 6) donnent les valeurs de la conductivité équivalente du sol en mS/m et sont soumises aux restrictions suivantes:

- leur application est limitée aux fréquences inférieures ou égales à 30 kHz;
- il n'y est pas tenu compte des variations saisonnières;
- elles ont été établies à partir de données géomorphologiques et géologiques utilisées pour définir les limites des zones continentales ayant une conductivité donnée, ainsi que de données réelles de conductivité déduites de mesures;
- elles représentent les conductivités équivalentes du sol (l'effet du terrain est compris dans les valeurs);
- comme il est vraisemblable que les variations saisonnières sont d'autant plus sensibles que la fréquence est plus élevée, puisque la profondeur de pénétration est plus faible, il se peut qu'il faille présenter les cartes relatives aux fréquences plus élevées de manière que les variations annuelles y apparaissent. Cependant, des données recueillies par l'Administration de l'Inde indiquent qu'à des fréquences aussi élevées que 1 MHz, les variations saisonnières sous les tropiques ont une influence négligeable sur la propagation.

3.2 Les cartes à utiliser pour les ondes hectométriques, Fig. 7 à 42, et le Tableau 2 donnent les conductivités équivalentes du sol en mS/m (les cartes sont normalisées par rapport à 1 MHz). Ces cartes sont fondées sur des mesures et d'autres renseignements pertinents fournis par les différents pays. Elles ne comprennent pas de marge pour tenir compte des variations saisonnières.

3.3 La Fig. 43 donne des renseignements provisoires relatifs aux ondes hectométriques dans le cas des zones pour lesquelles on ne dispose d'aucun résultat de mesures de la conductivité. Ces renseignements seront vraisemblablement remplacés par les éditions ultérieures de l'Atlas mondial que doit publier l'UIT.

3.4 Les valeurs de conductivité indiquées sur les cartes sont celles qu'ont soumises les administrations. Aucun renseignement n'a été communiqué pour les pays qui ne sont pas représentés dans l'Atlas.

4 Future révision de l'Atlas

4.1 Les administrations sont priées de vérifier et, le cas échéant, de réviser les renseignements figurant dans cet Atlas.

4.2 Les administrations sont priées d'ajuster les zones d'une conductivité donnée de manière que chaque valeur de conductivité soit l'une des valeurs normalisées indiquées dans le Tableau 1.

4.3 On reconnaît qu'en raison de la diversité des méthodes appliquées pour mesurer la conductivité du sol, il se présente des discontinuités aux frontières entre pays. Les administrations sont priées de résoudre ces problèmes bilatéralement.

CARTES DE LA CONDUCTIVITÉ DU SOL

Cartes pour les ondes myriamétriques

- Fig. 1 Afrique
- Fig. 2 Asie
- Fig. 3 Amérique du Nord
- Fig. 4 Amérique du Sud
- Fig. 5 Australie
- Fig. 6 Europe

Cartes pour les ondes hectométriques

- Fig. 7 Allemagne (République fédérale d') – Partie occidentale
- Fig. 8 Autriche
- Fig. 9 Belgique
- Fig. 10 Danemark
- Fig. 11 Espagne
- Fig. 12 Finlande
- Fig. 13 Grèce
- Fig. 14 Hongrie (République de)
- Fig. 15 Italie
- Fig. 16 Norvège
- Fig. 17 Pays-Bas (Royaume des)
- Fig. 18 Portugal
- Fig. 19 Allemagne (République fédérale d') – Partie orientale
- Fig. 20 Royaume-Uni de Grande-Bretagne et d'Irlande du Nord
- Fig. 21 Suède
- Fig. 22 Arménie (République d'), Azerbaïdjanaise (République), Bélarus (République du), Estonie (République d'), Géorgie, Kazakstan (République du), Lettonie (République de), Lituanie (République de), Moldova (République de), Ouzbékistan (République d'), République kirghise, Russie (Fédération de), Tadjikistan (République du), Turkménistan, Ukraine

- Fig. 23 Bosnie-Herzégovine (République de), Croatie (République de), L'ex-République yougoslave de Macédoine, Slovénie (République de) et Yougoslavie (République fédérative de)
- Fig. 24 Bangladesh (République populaire du)
- Fig. 25 Corée (République de)
- Fig. 26 Inde (République de l')
- Fig. 27 Iran (République islamique d')
- Fig. 28 Israël (Etat d')
- Fig. 29 Japon
- Fig. 30 Jordanie (Royaume hachémite de)
- Fig. 31 Thaïlande
- Fig. 32 Lesotho (Royaume du), Sudafricaine (République), Swaziland (Royaume du)
- Fig. 33 Botswana (République du)
- Fig. 34 Namibie (République de)
- Fig. 35 Amérique du Nord (excepté Canada)
- Fig. 36 Amérique centrale
- Fig. 37 Canada
- Fig. 38 Amérique du Sud
- Fig. 39 Australie
- Fig. 40 Nouvelle-Zélande
- Fig. 41 Chine (République populaire de)
- Fig. 42 Nigéria (République fédérale du)
- Fig. 43 Carte mondiale provisoire des valeurs de conductivité du sol aux ondes hectométriques pour les zones terrestres.

NOTE 1 – La dénomination d'un pays ou d'un territoire sur ces cartes ainsi que n'importe quel tracé de frontières n'impliquent, de la part de l'UIT, aucune prise de position quant au statut politique de ces pays ou territoires, ni aucune reconnaissance officielle de ces frontières.

FIGURE 1
Afrique

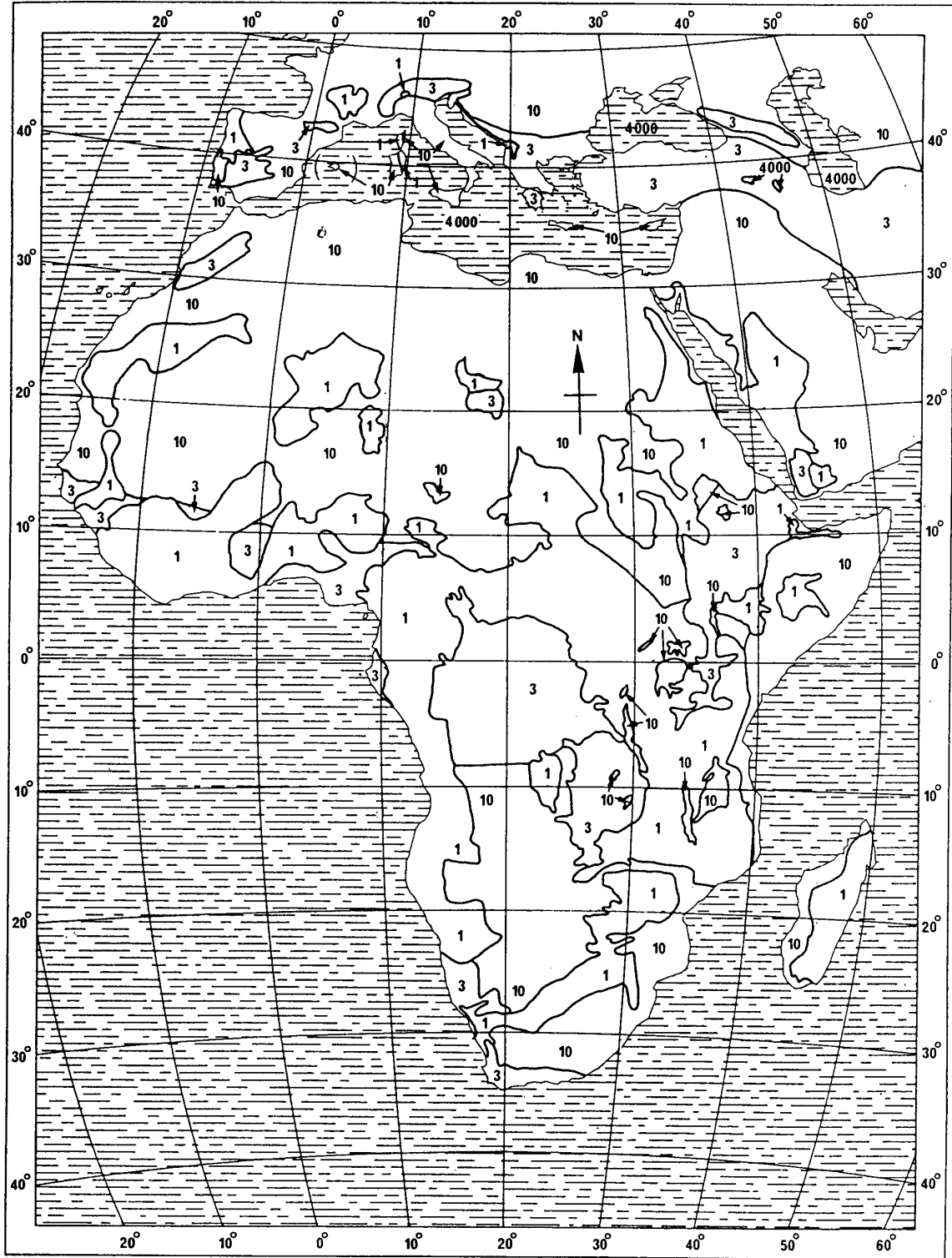


FIGURE 2

Asie

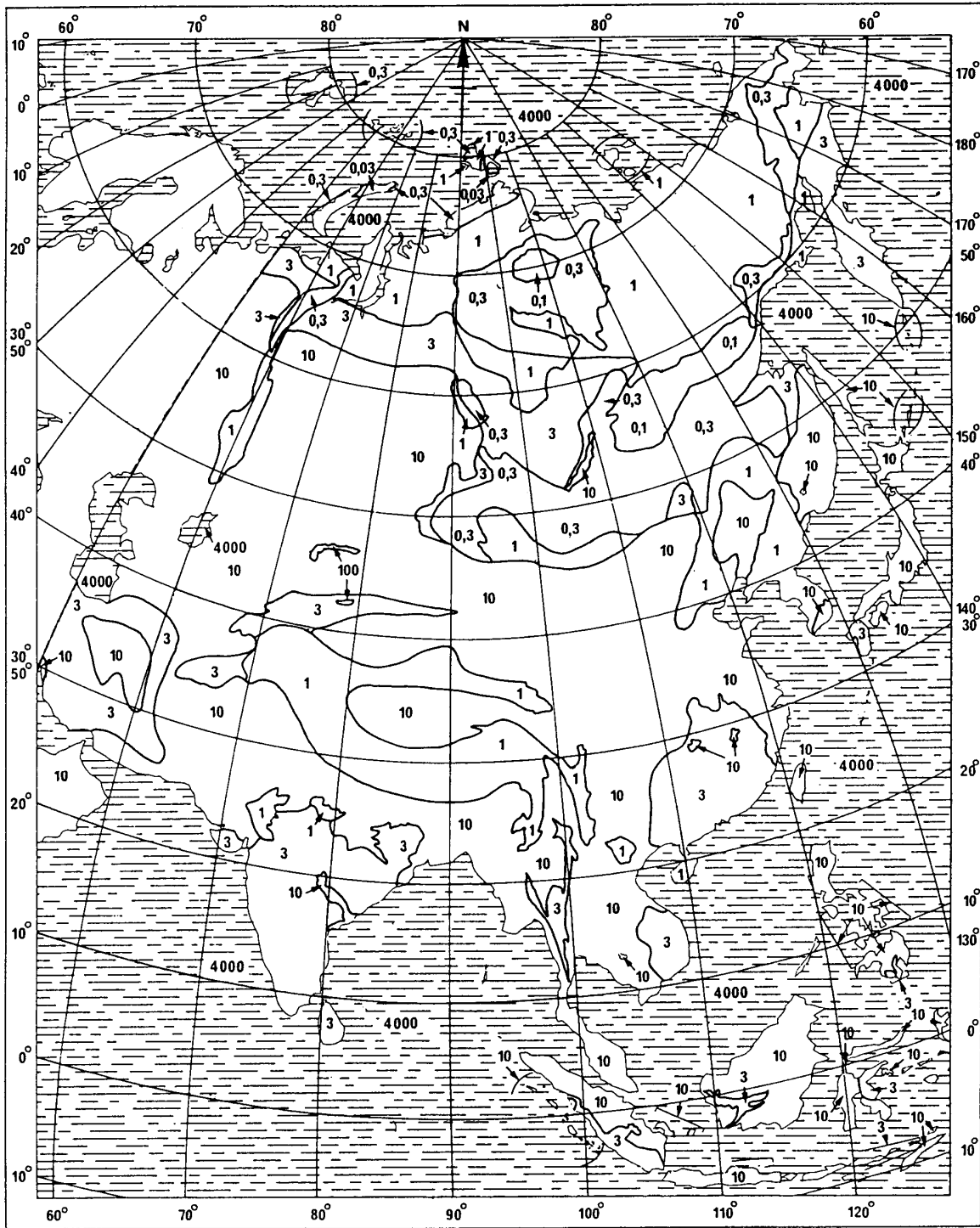
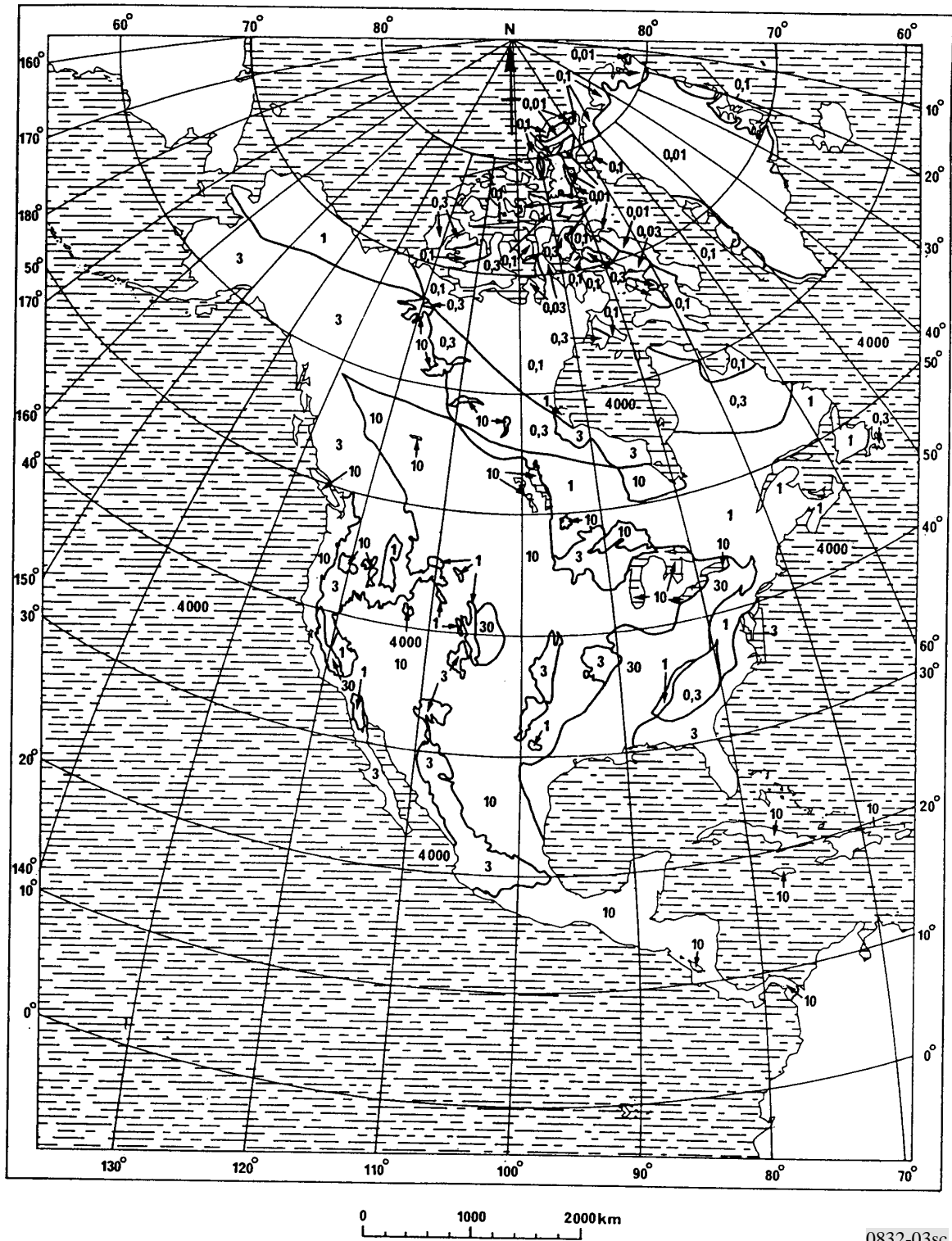


FIGURE 3
Amérique du Nord



0832-03sc

FIGURE 4
Amérique du Sud

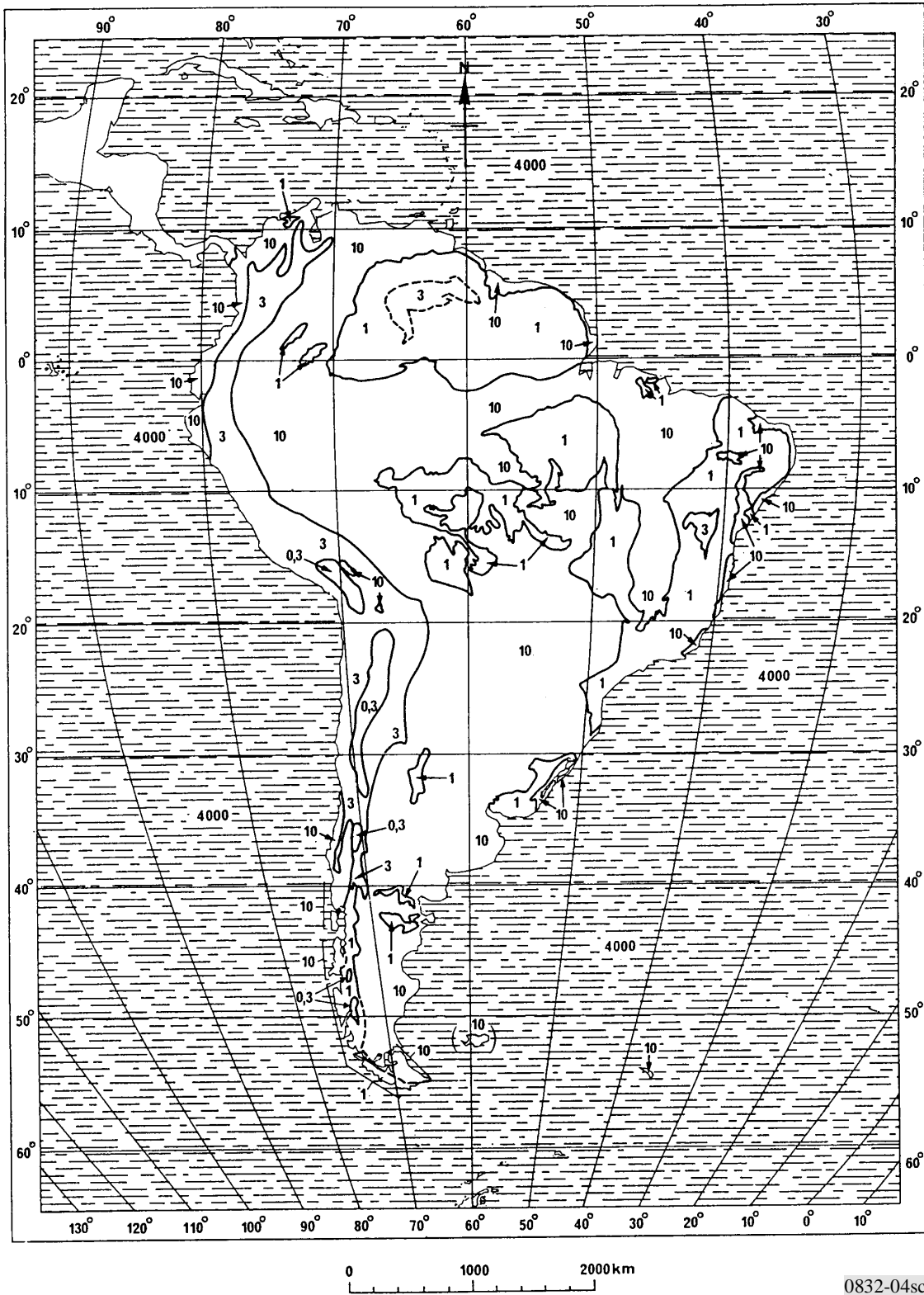
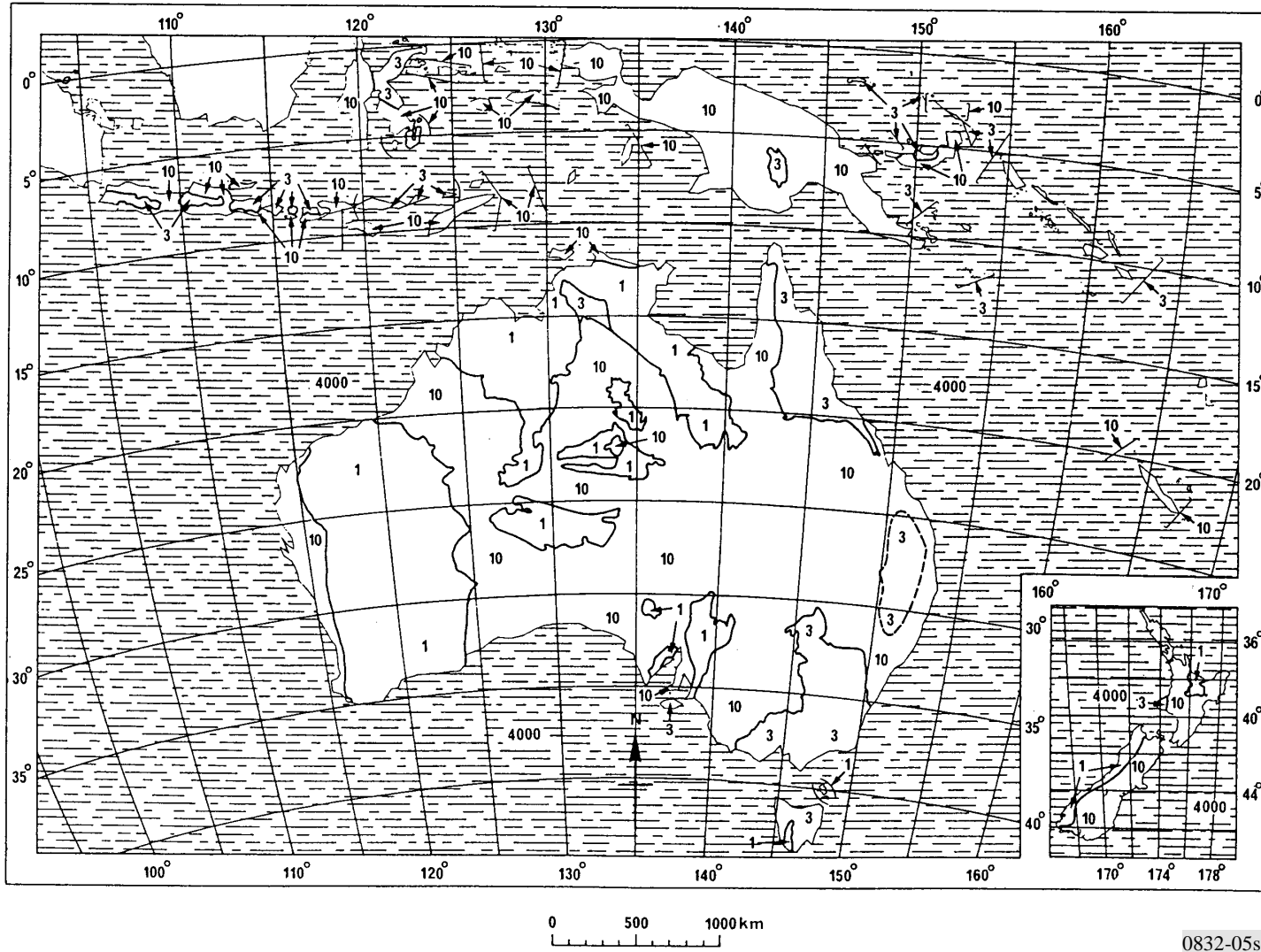


FIGURE 5
Australie



Rec. UIT-R P.832-1

0832-05sc

FIGURE 6
Europe

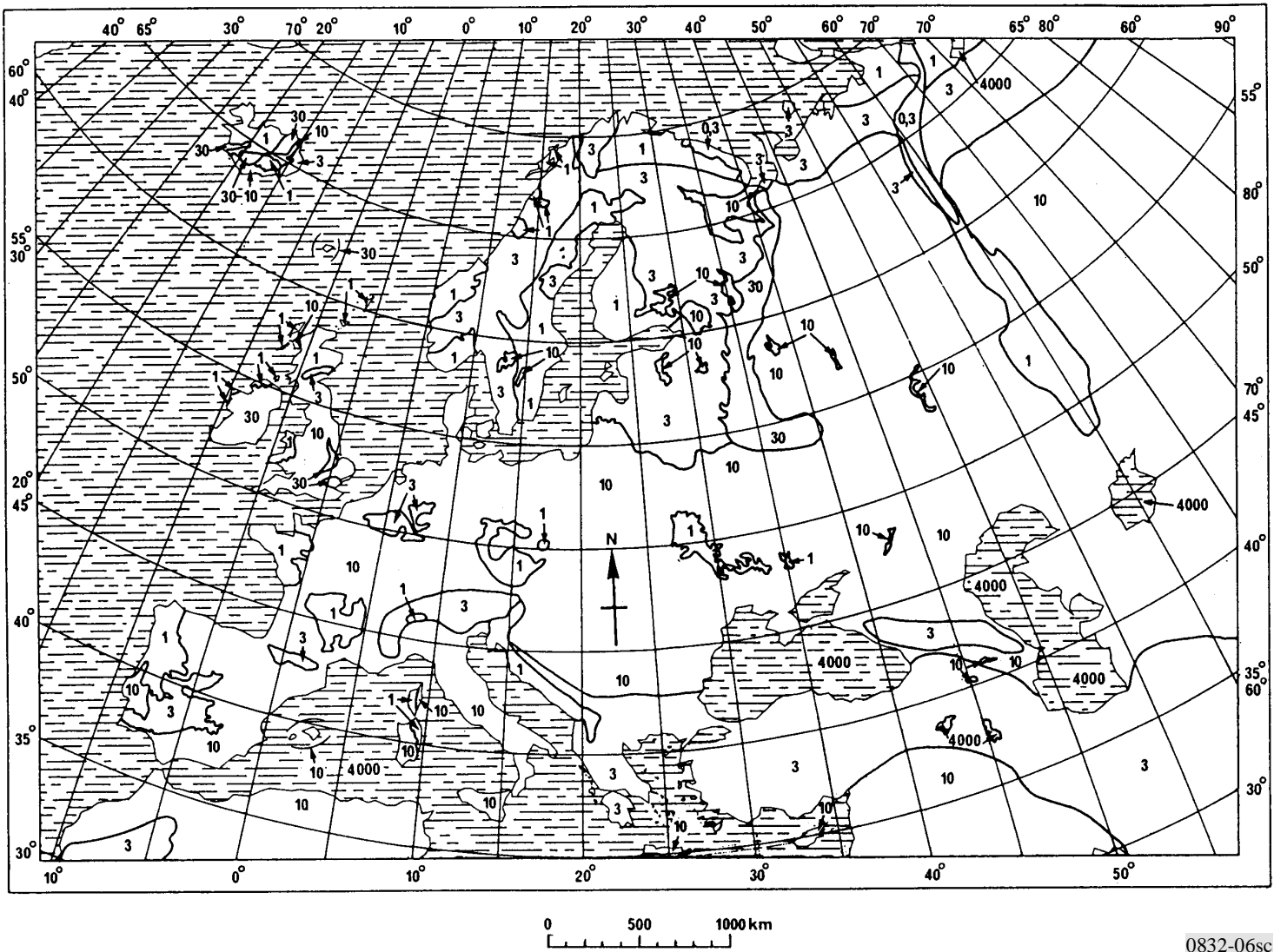
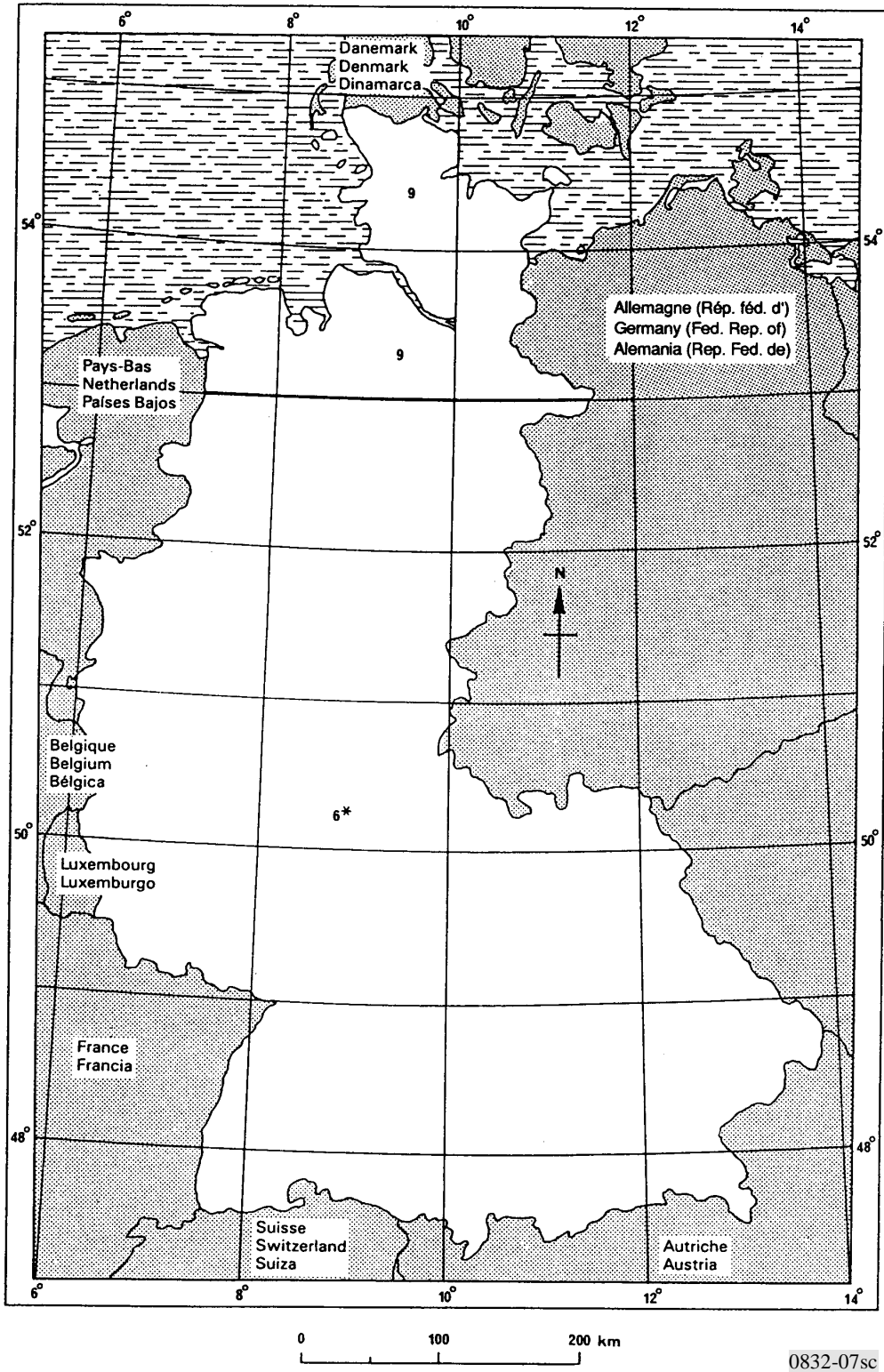


FIGURE 7
Allemagne (République fédérale d') – Partie occidentale



0832-07sc

* Dans les régions particulièrement montagneuses, bien au-dessous de 1 mS/m.

FIGURE 8
Autriche

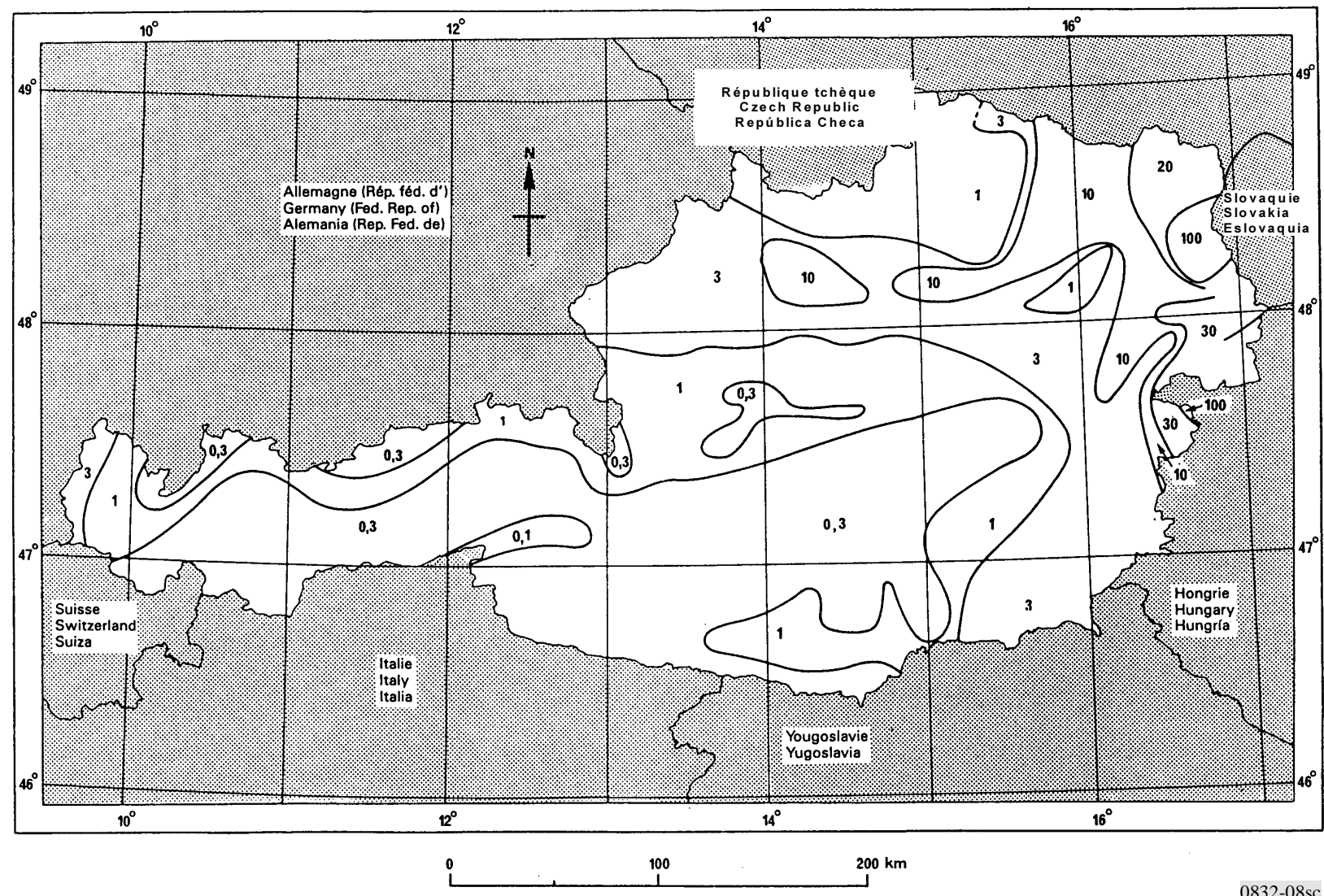


FIGURE 9
Belgique

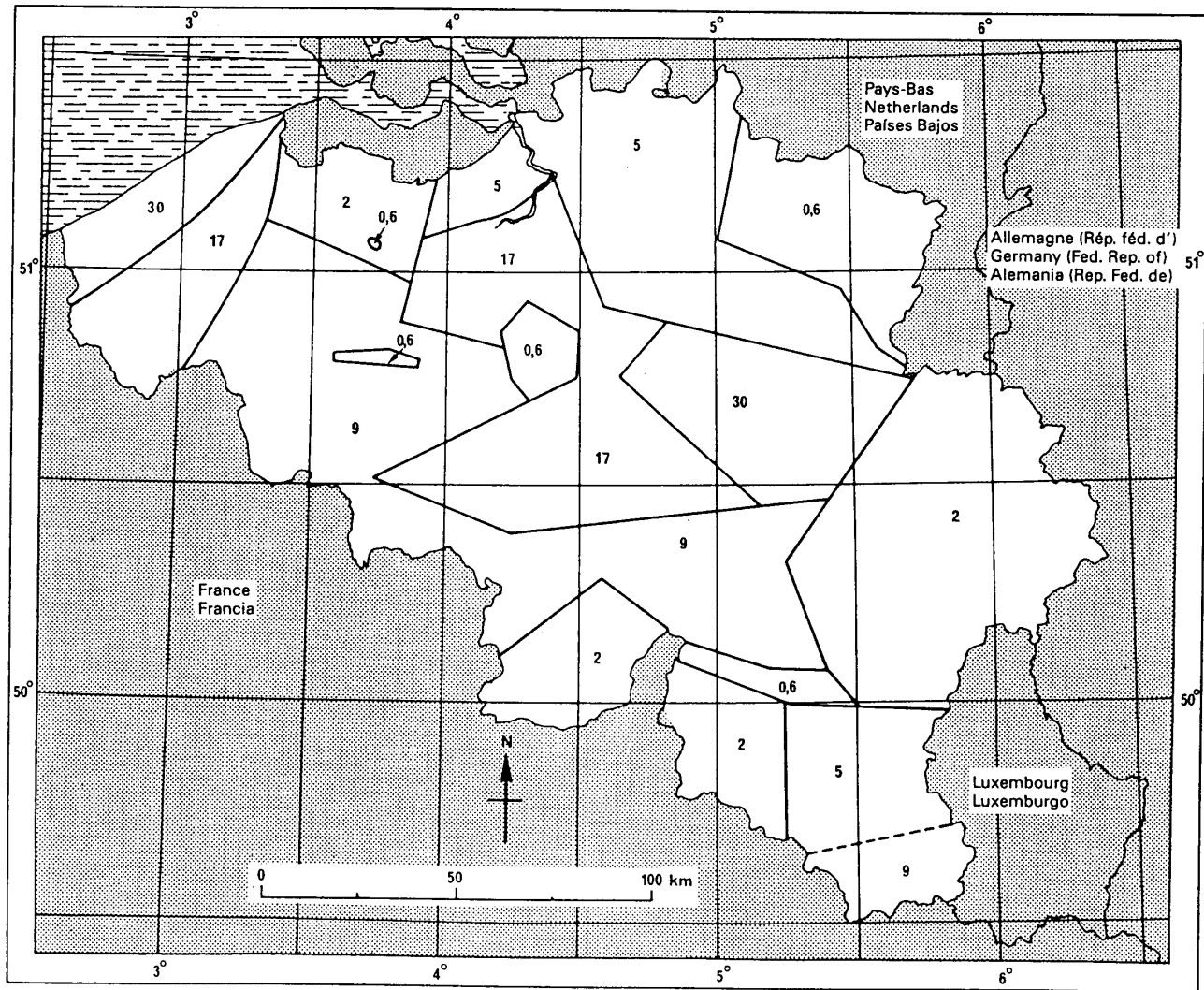


FIGURE 10
Danemark

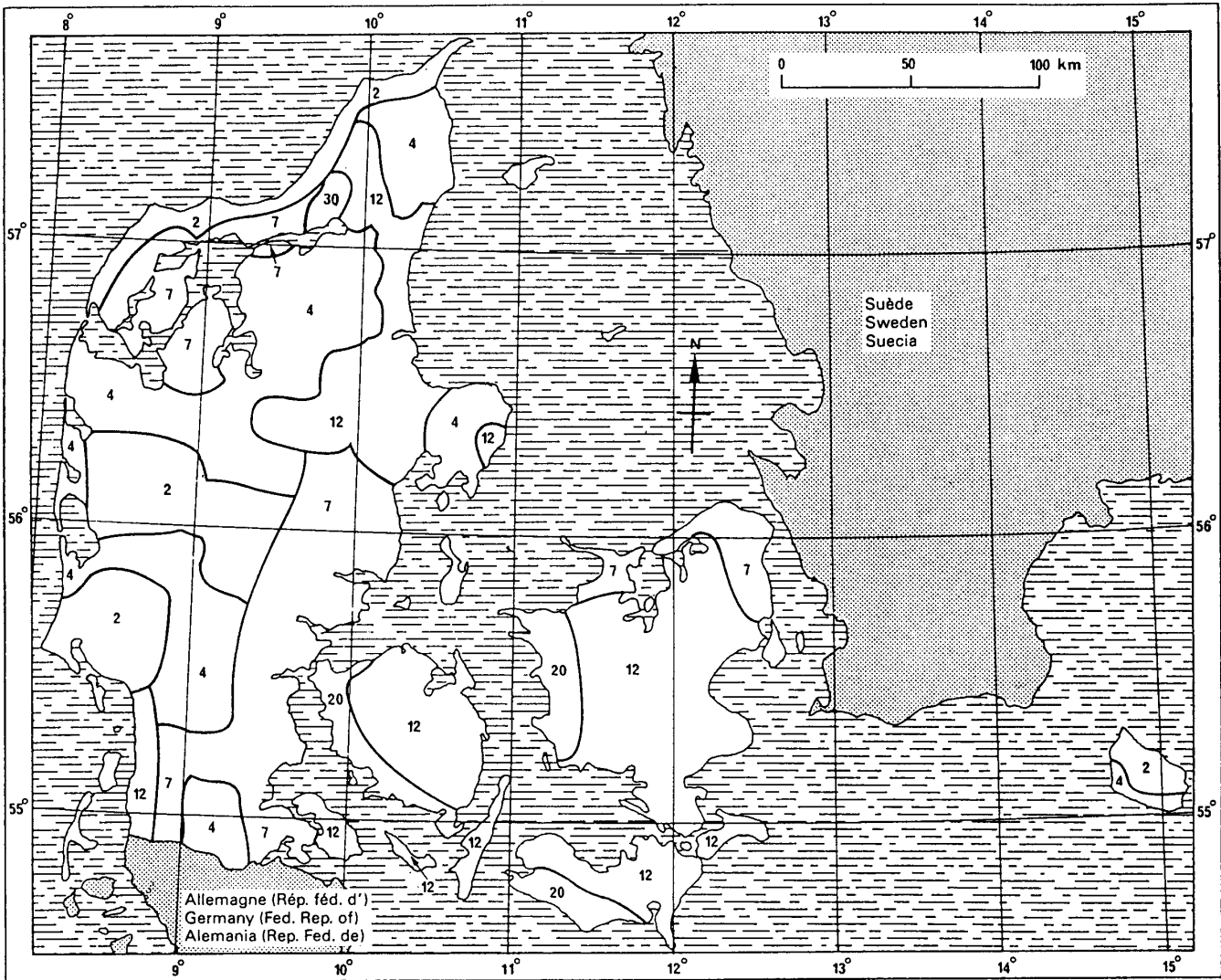


FIGURE 11

Espagne

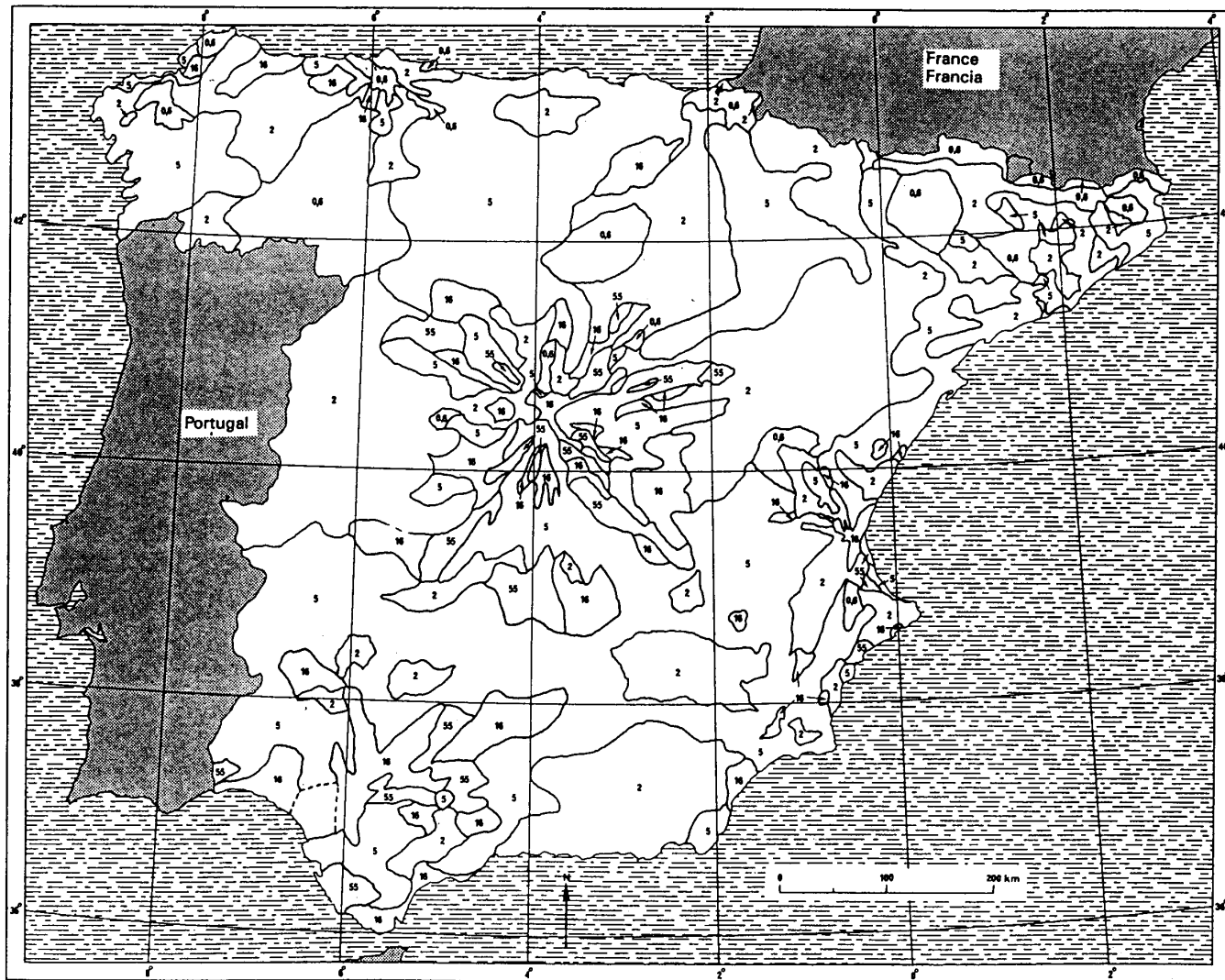
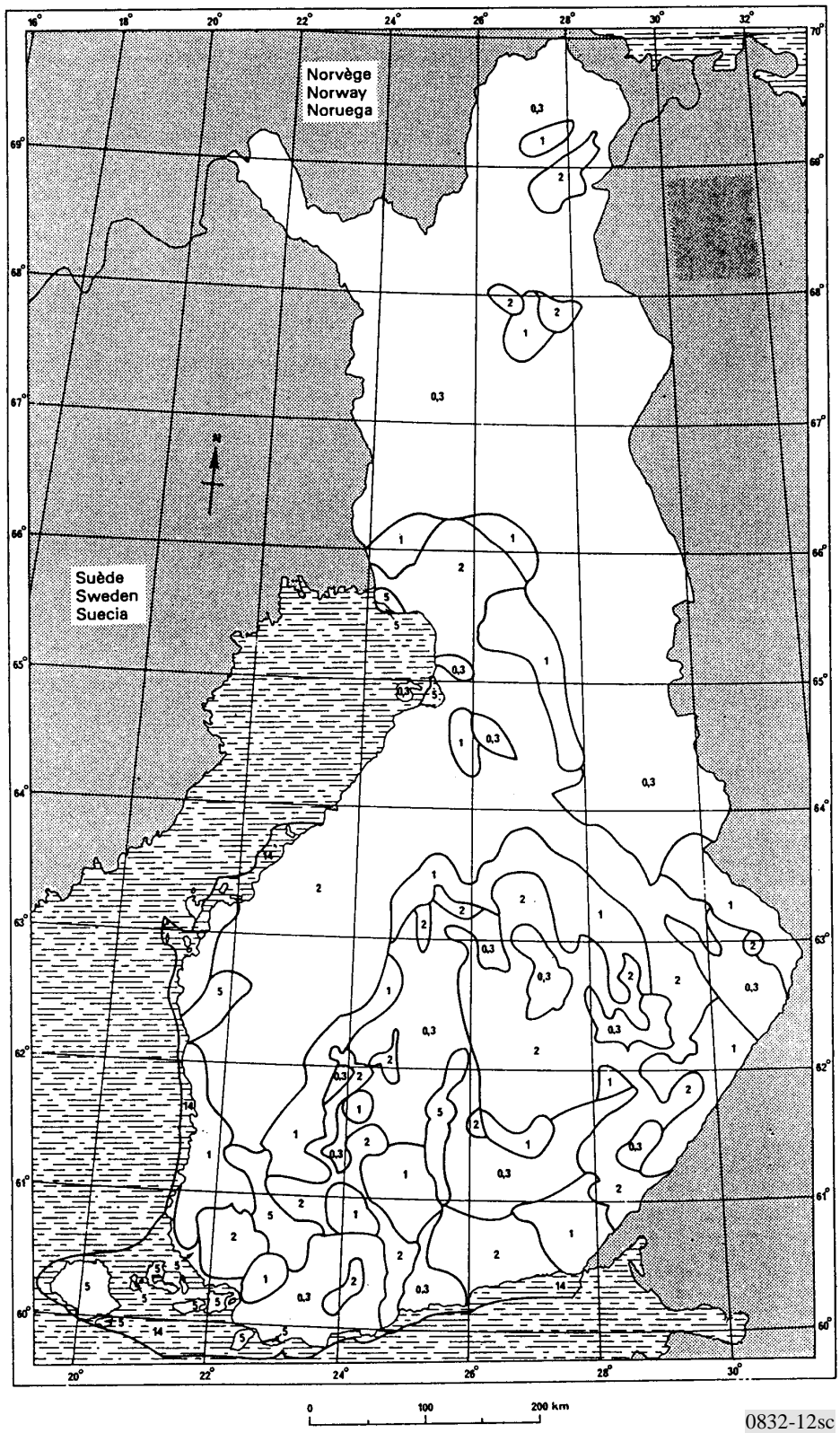


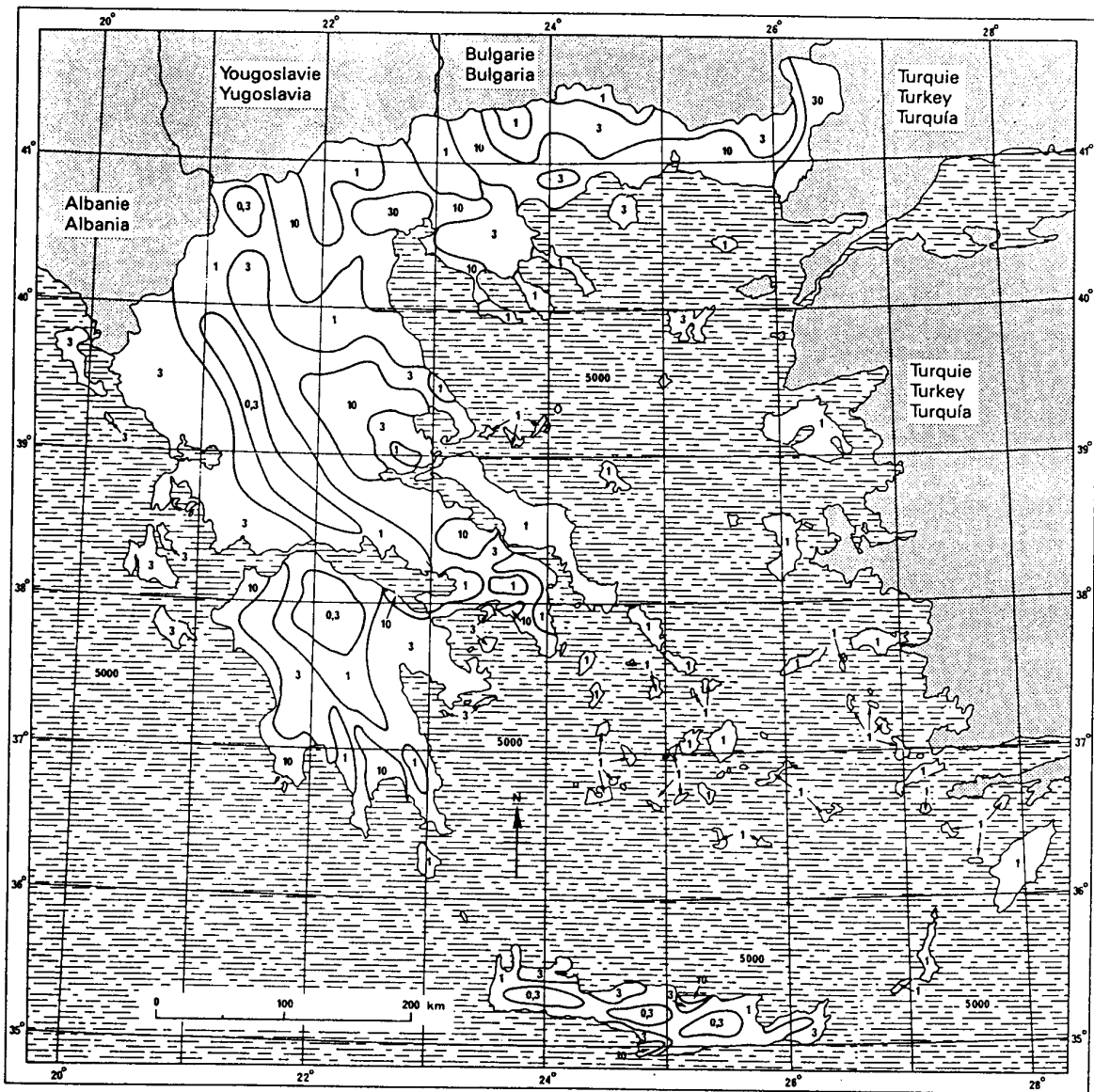
FIGURE 12
Finlande



0832-12sc

FIGURE 13

Grèce



0832-13sc

FIGURE 14
Hongrie (République de)

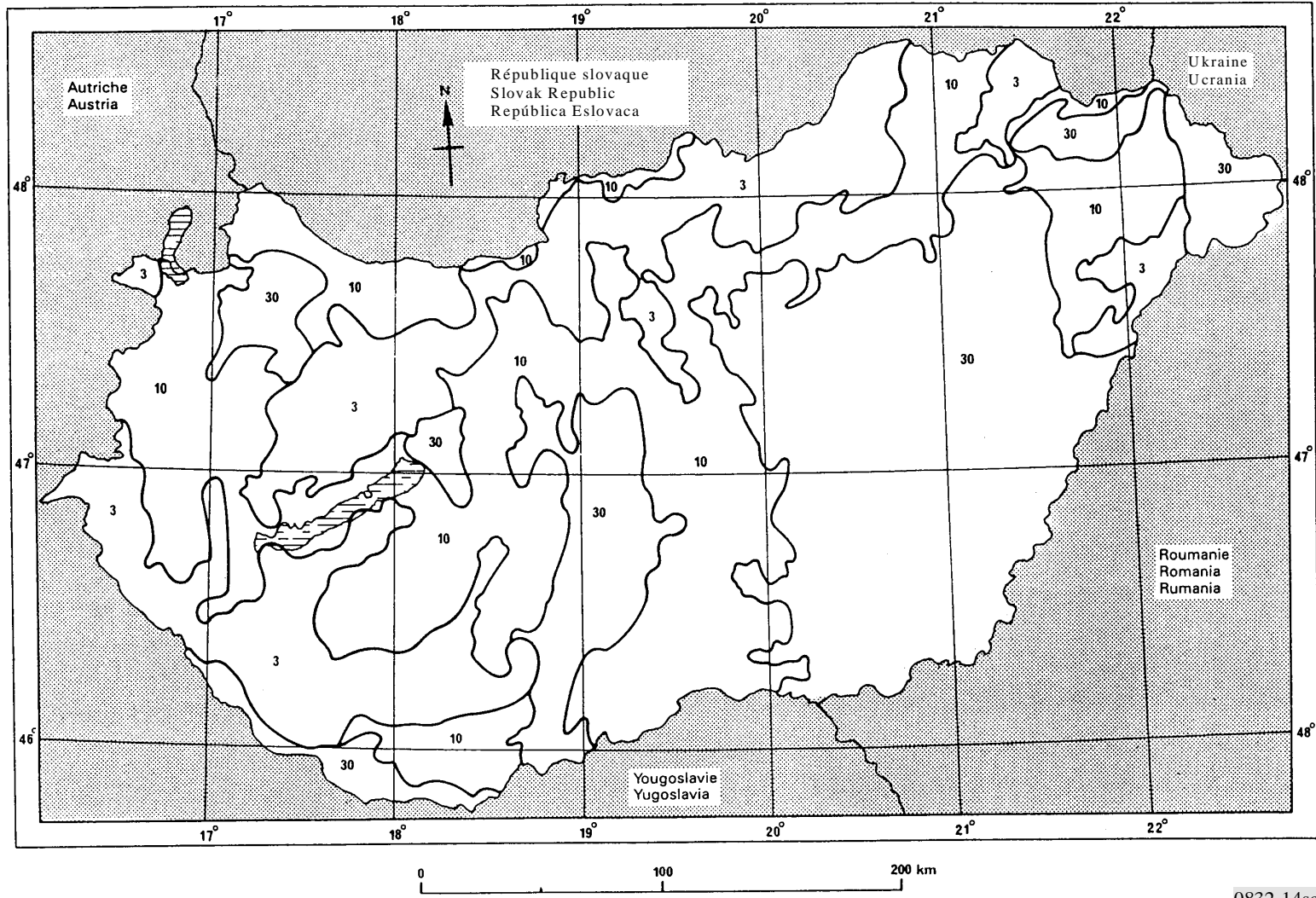


FIGURE 15

Italie

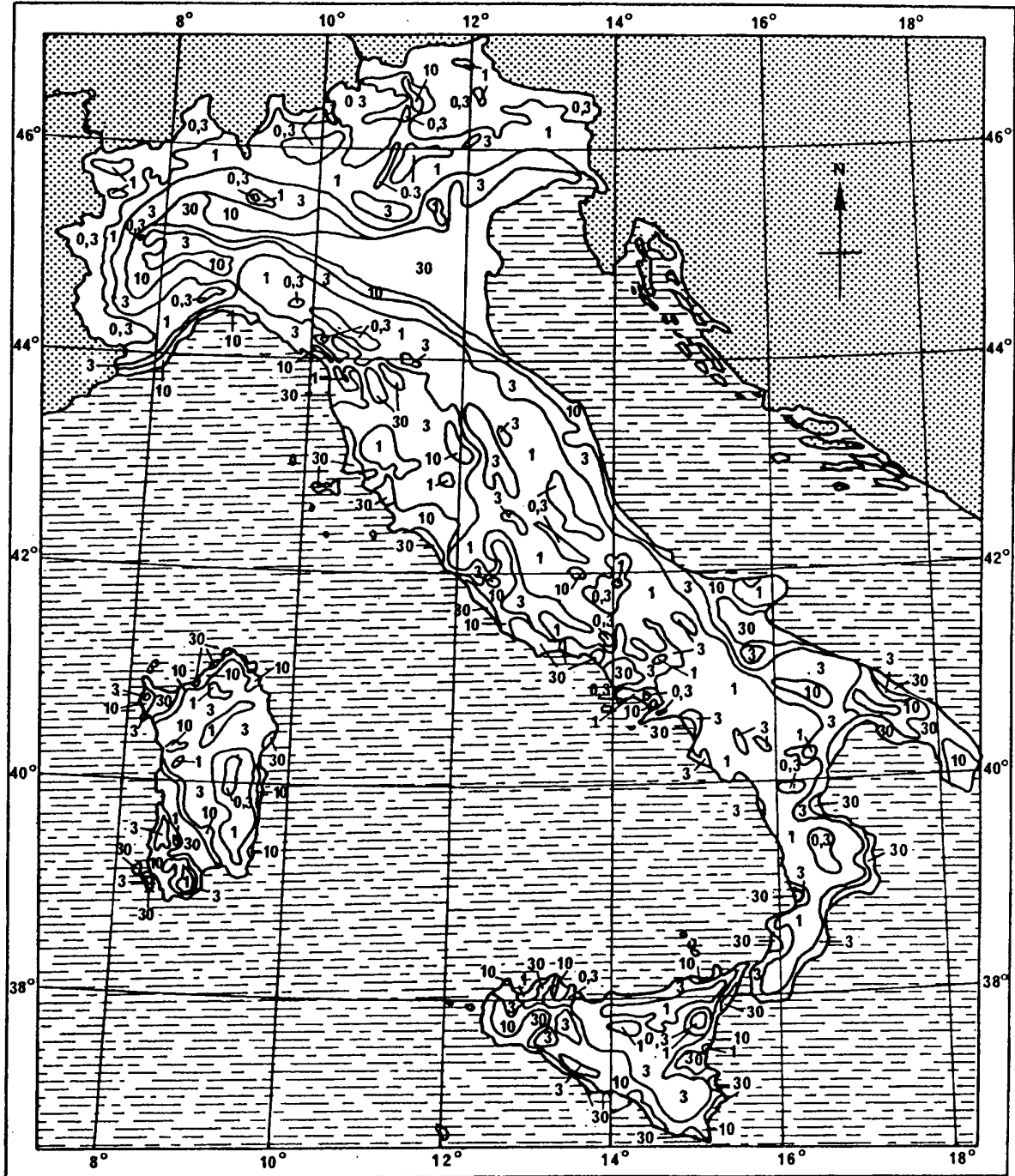


FIGURE 16

Norvège

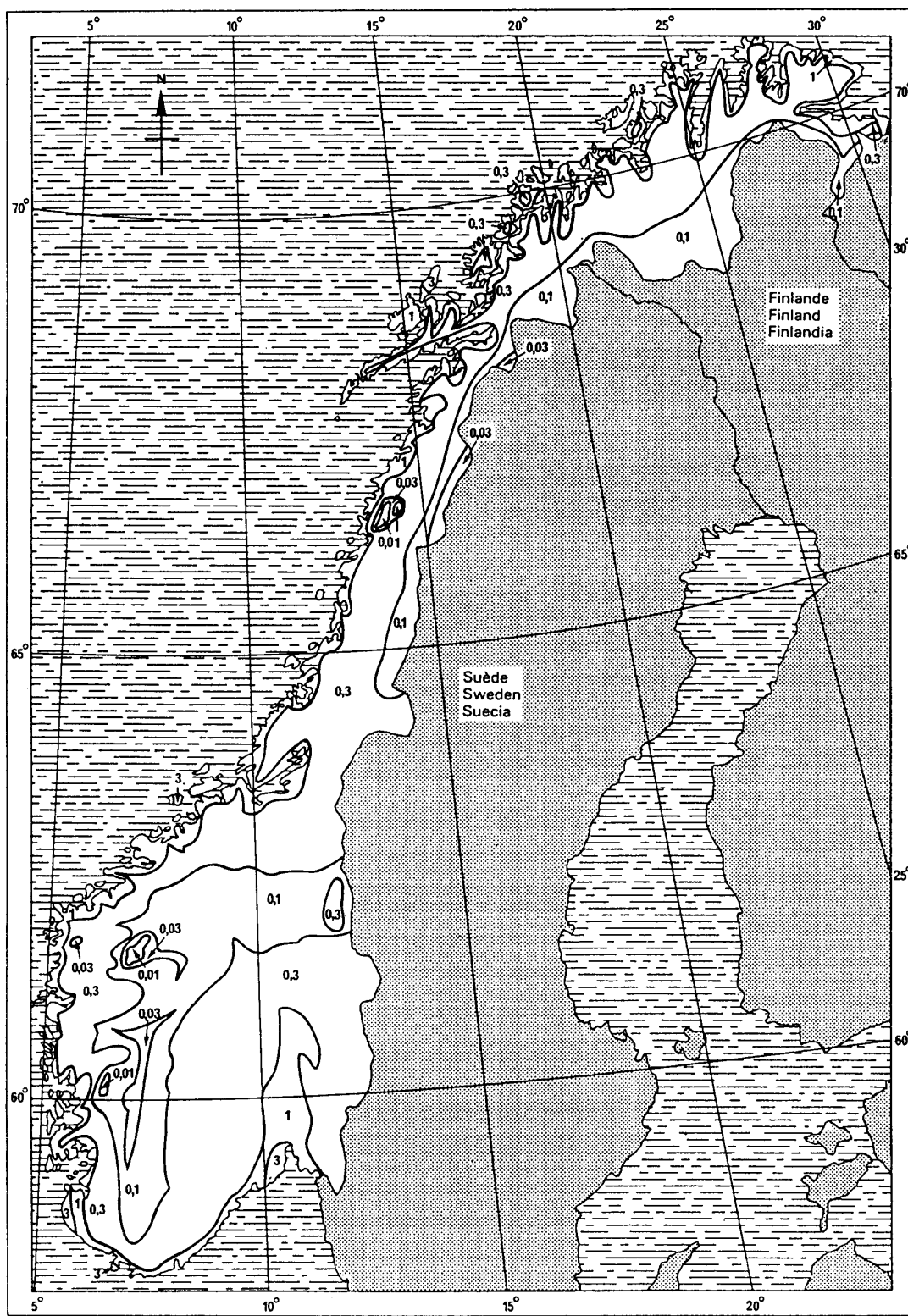


FIGURE 17
Pays-Bas (Royaume des)

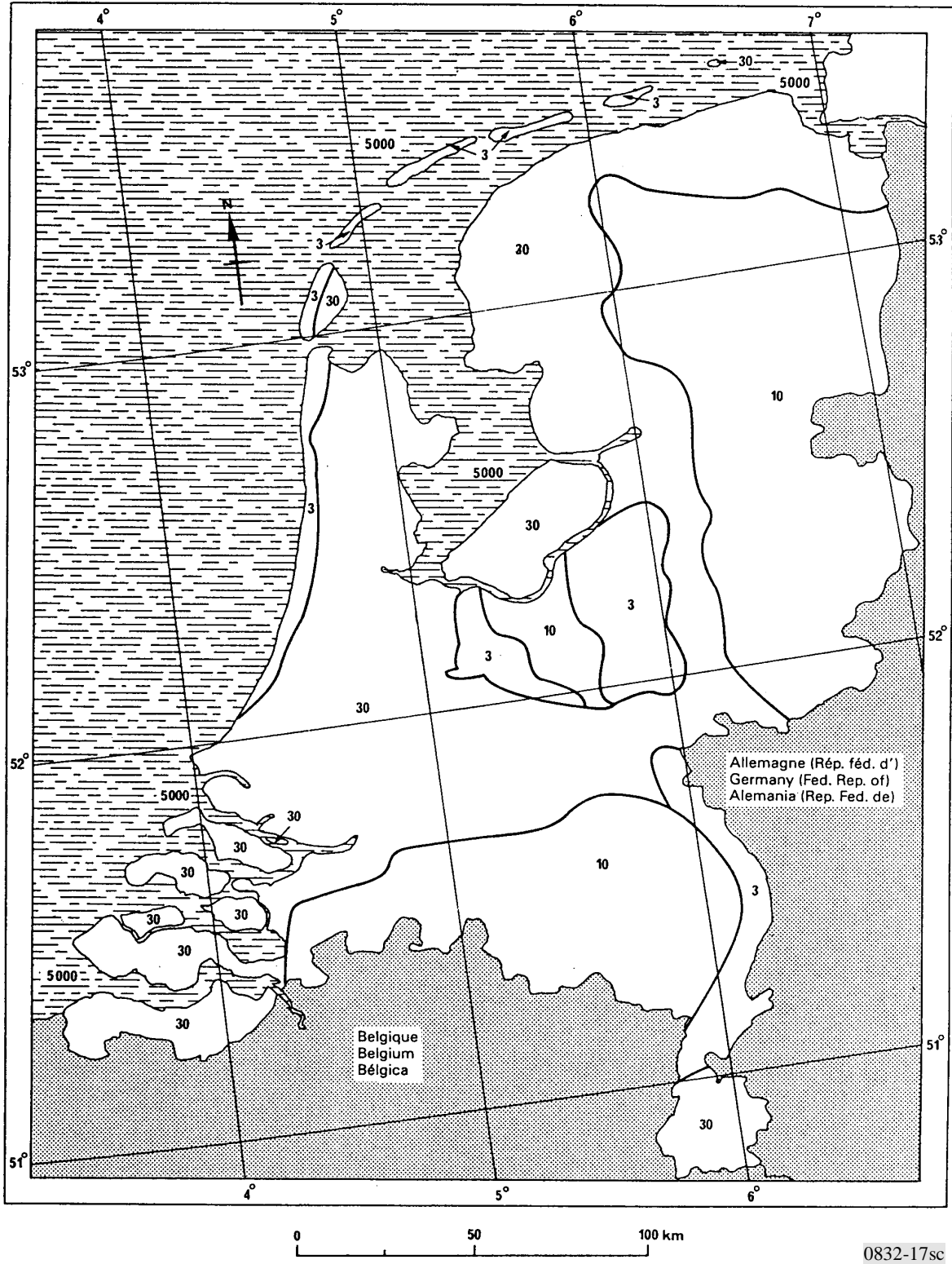
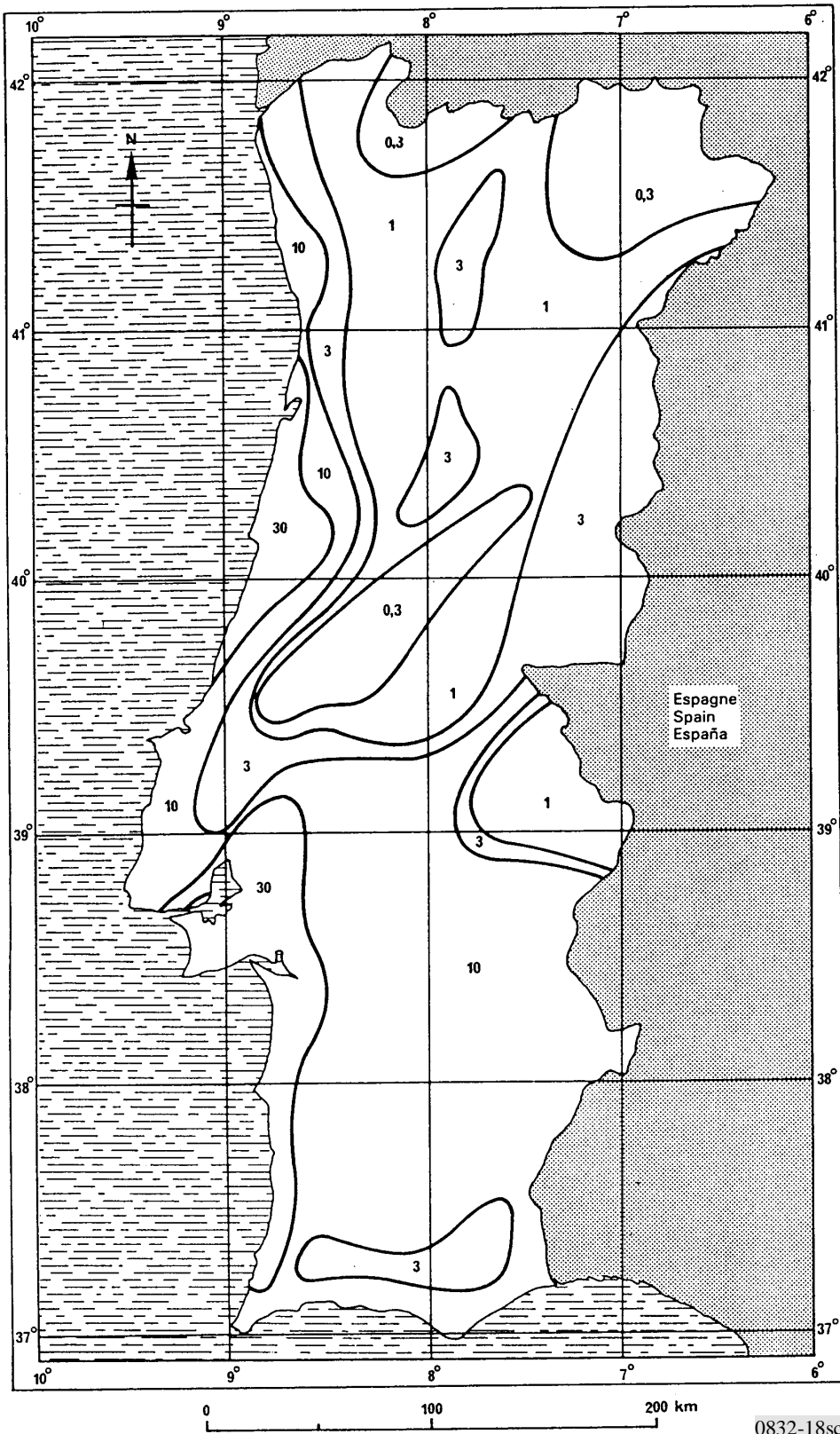
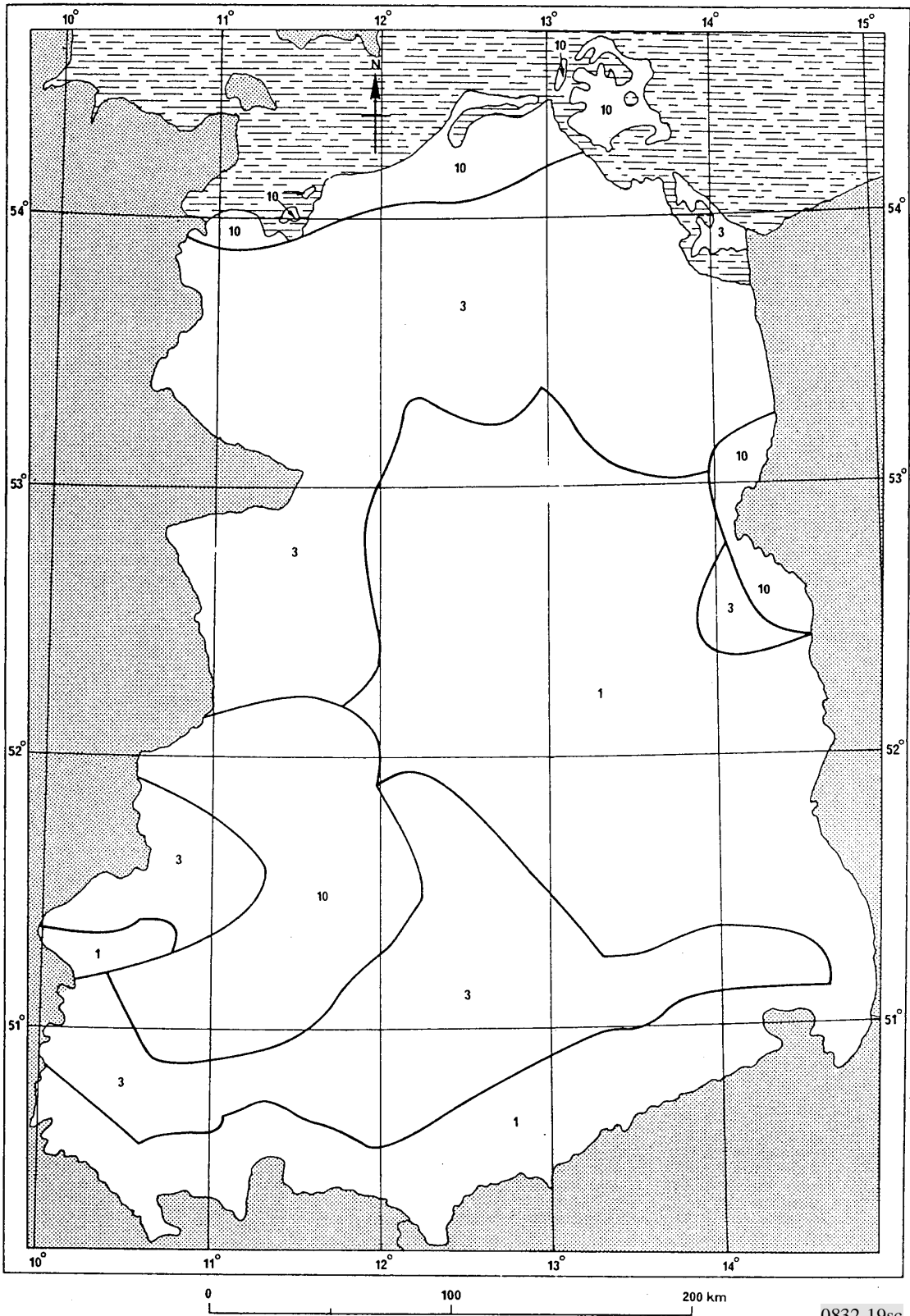


FIGURE 18
Portugal



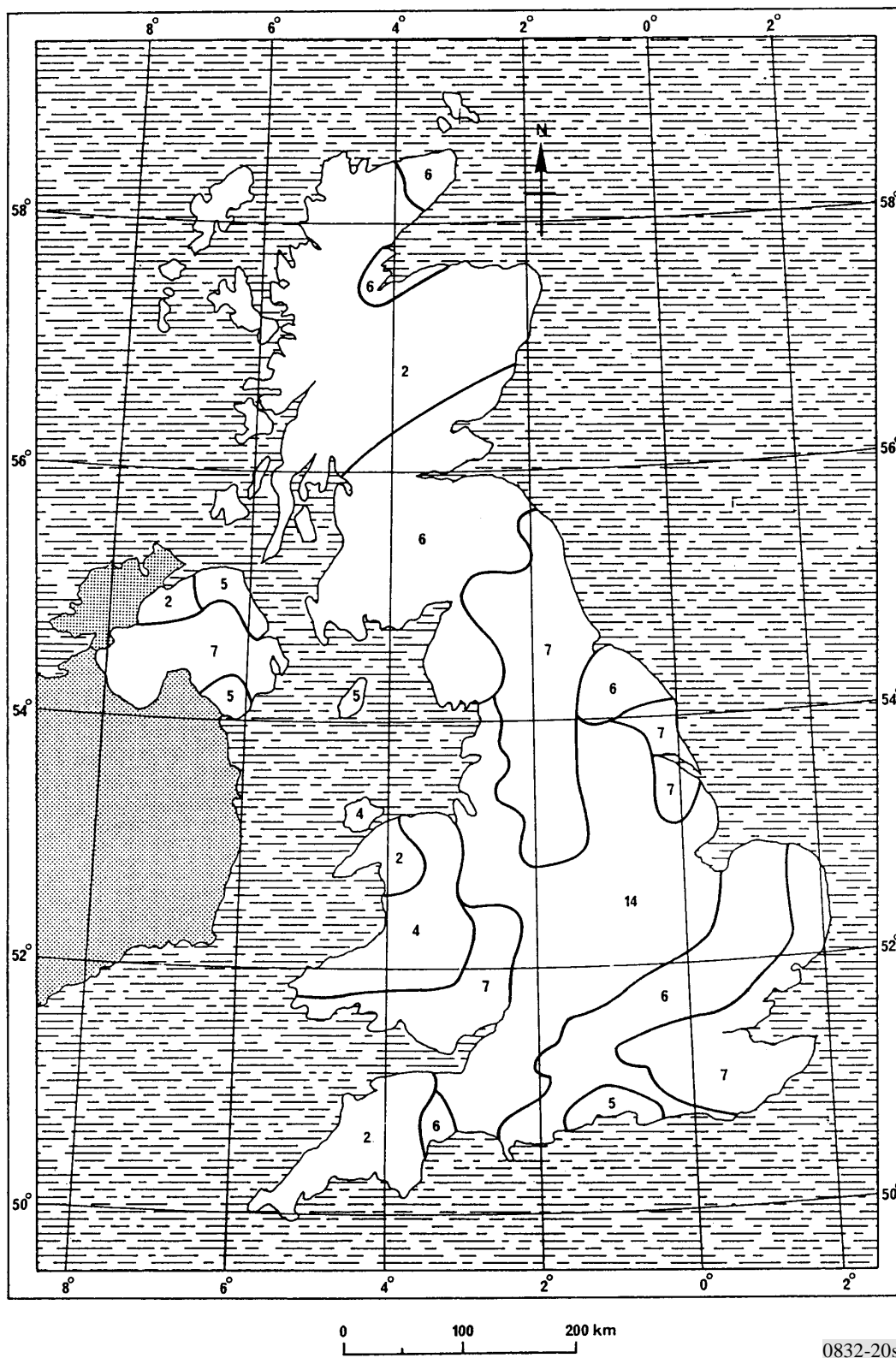
0832-18sc

FIGURE 19
Allemagne (République fédérale d') – Partie orientale



0832-19sc

FIGURE 20
Royaume-Uni de Grande-Bretagne et d'Irlande du Nord



0832-20sc

FIGURE 21
Suède

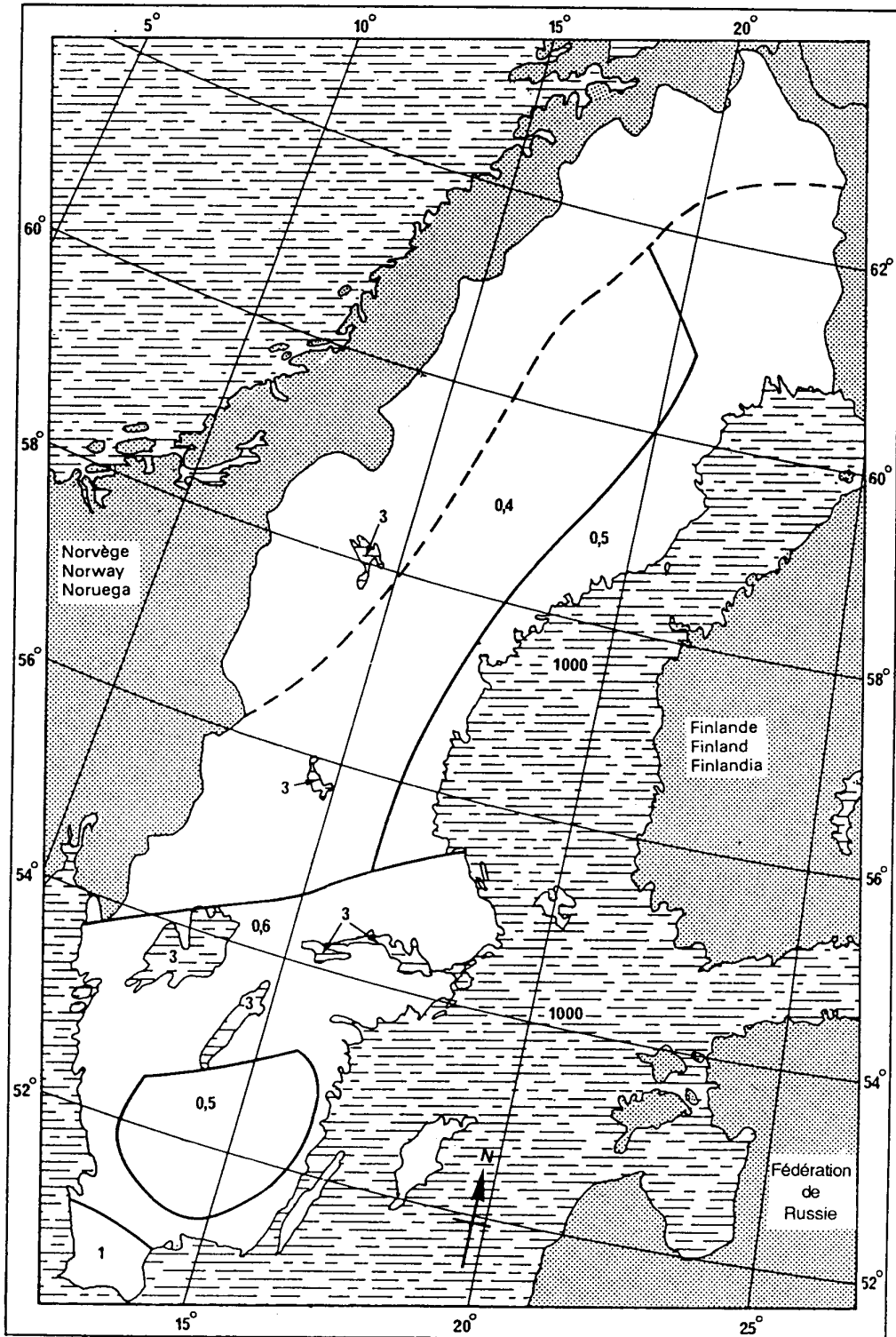
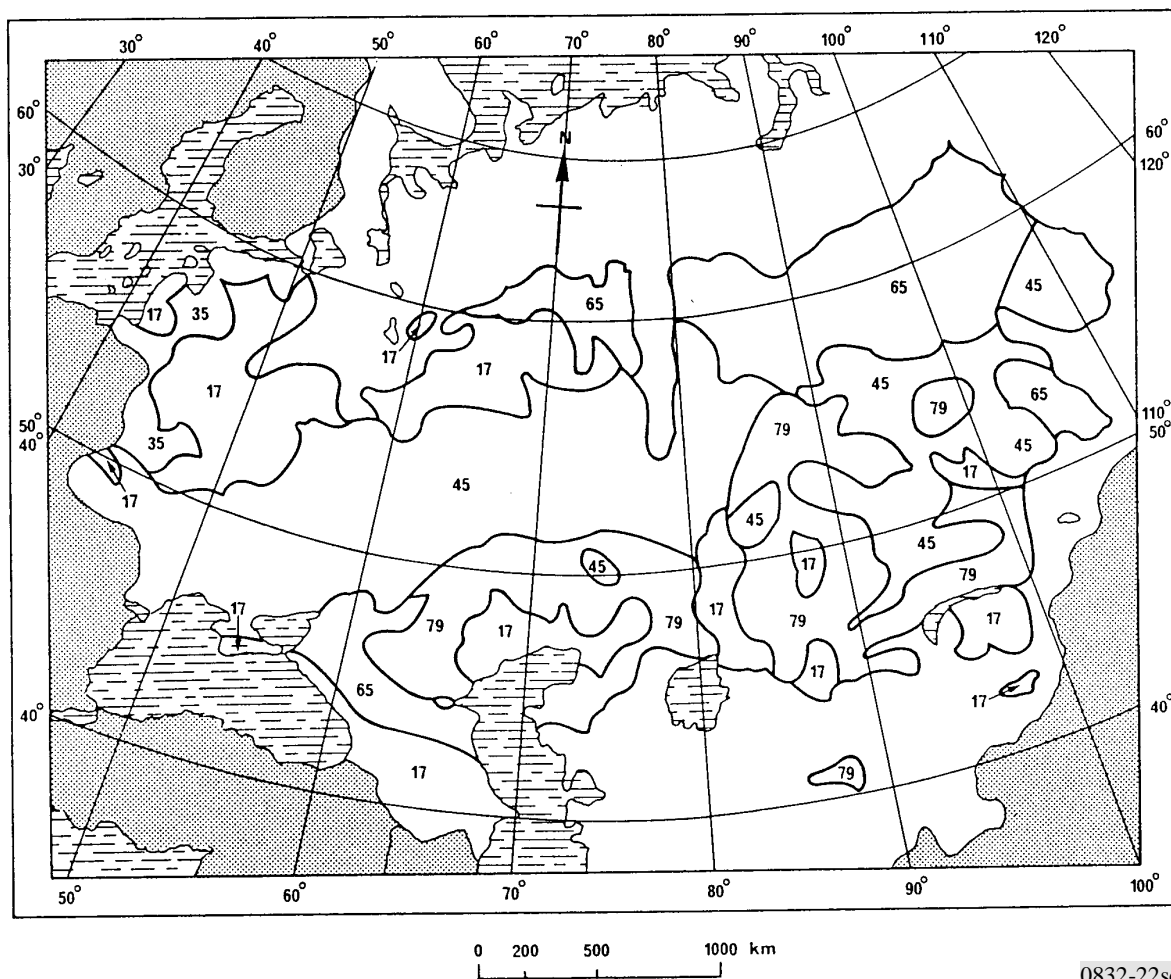


FIGURE 22

Arménie (République d'), Azerbaïdjanaise (République), Bélarus (République du),
 Estonie (République d'), Géorgie, Kazakstan (République du),
 Lettonie (République de), Lituanie (République de), Moldova (République de),
 Ouzbékistan (République d'), République kirghize, Russie (Fédération de),
 Tadjikistan (République du), Turkménistan, Ukraine



0832-22sc

FIGURE 23
Bosnie-Herzégovine (République de), Croatie (République de), L'ex-République yougoslave de Macédoine, Slovénie (République de) et Yougoslavie (République fédérative de)

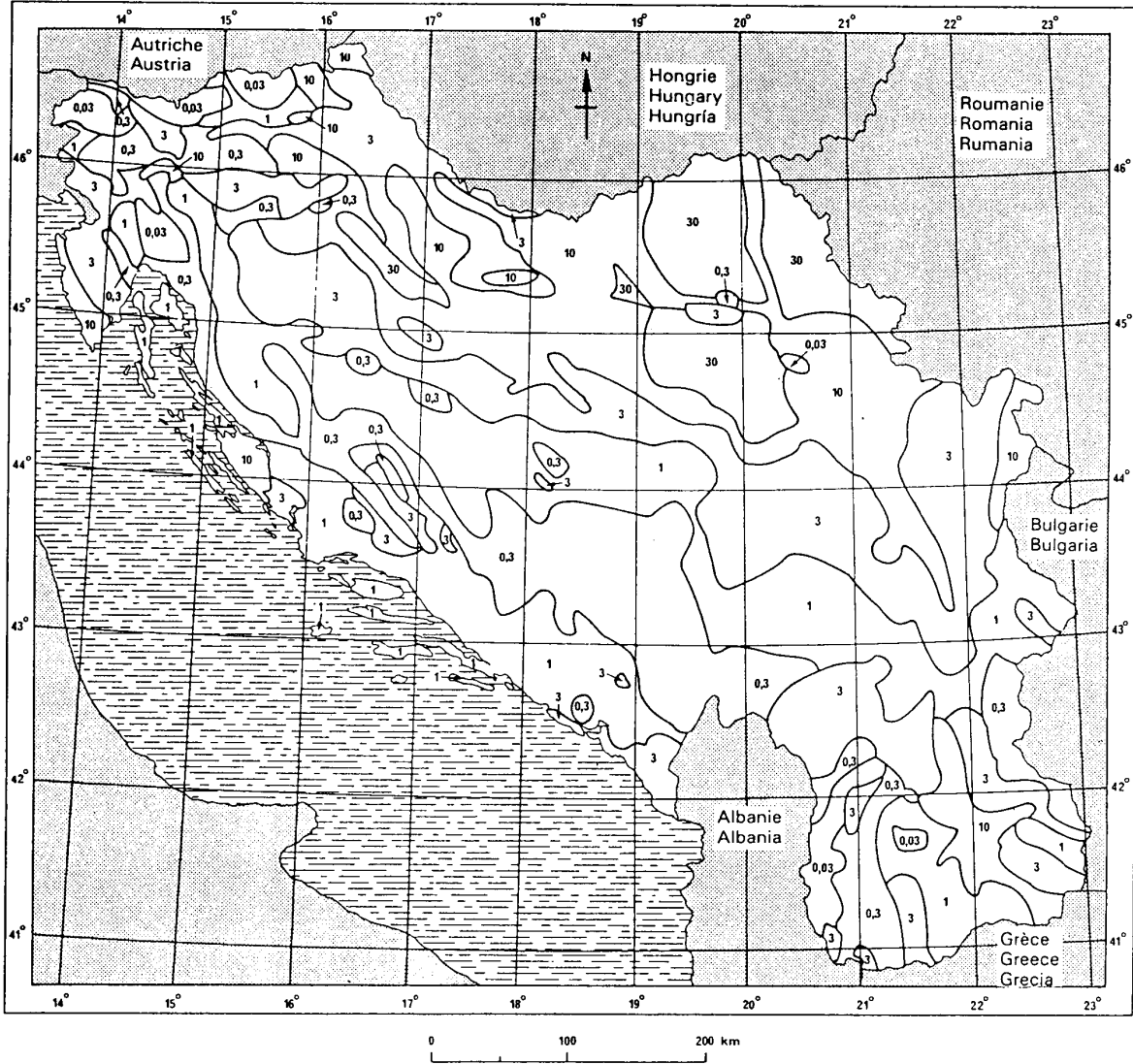
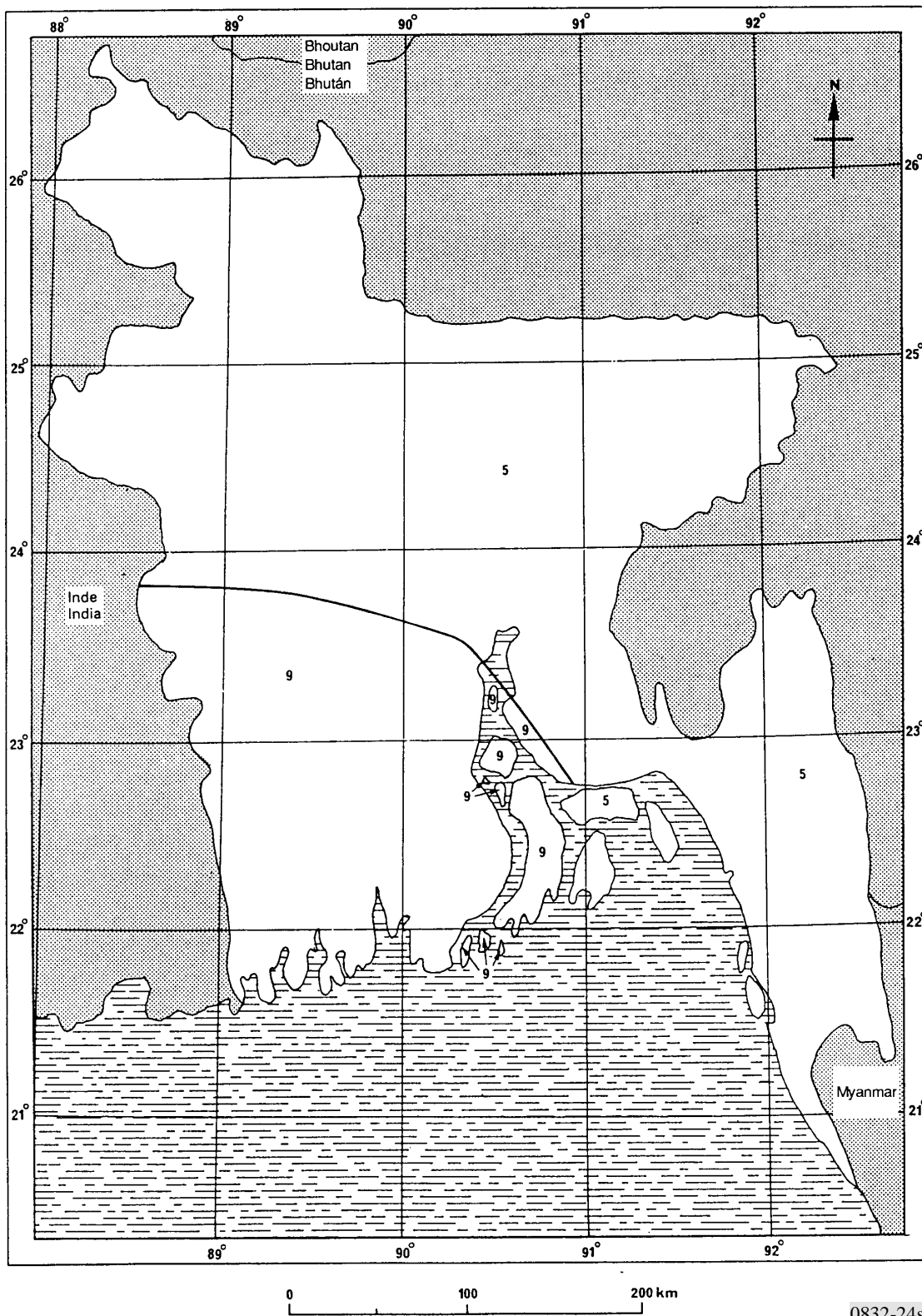
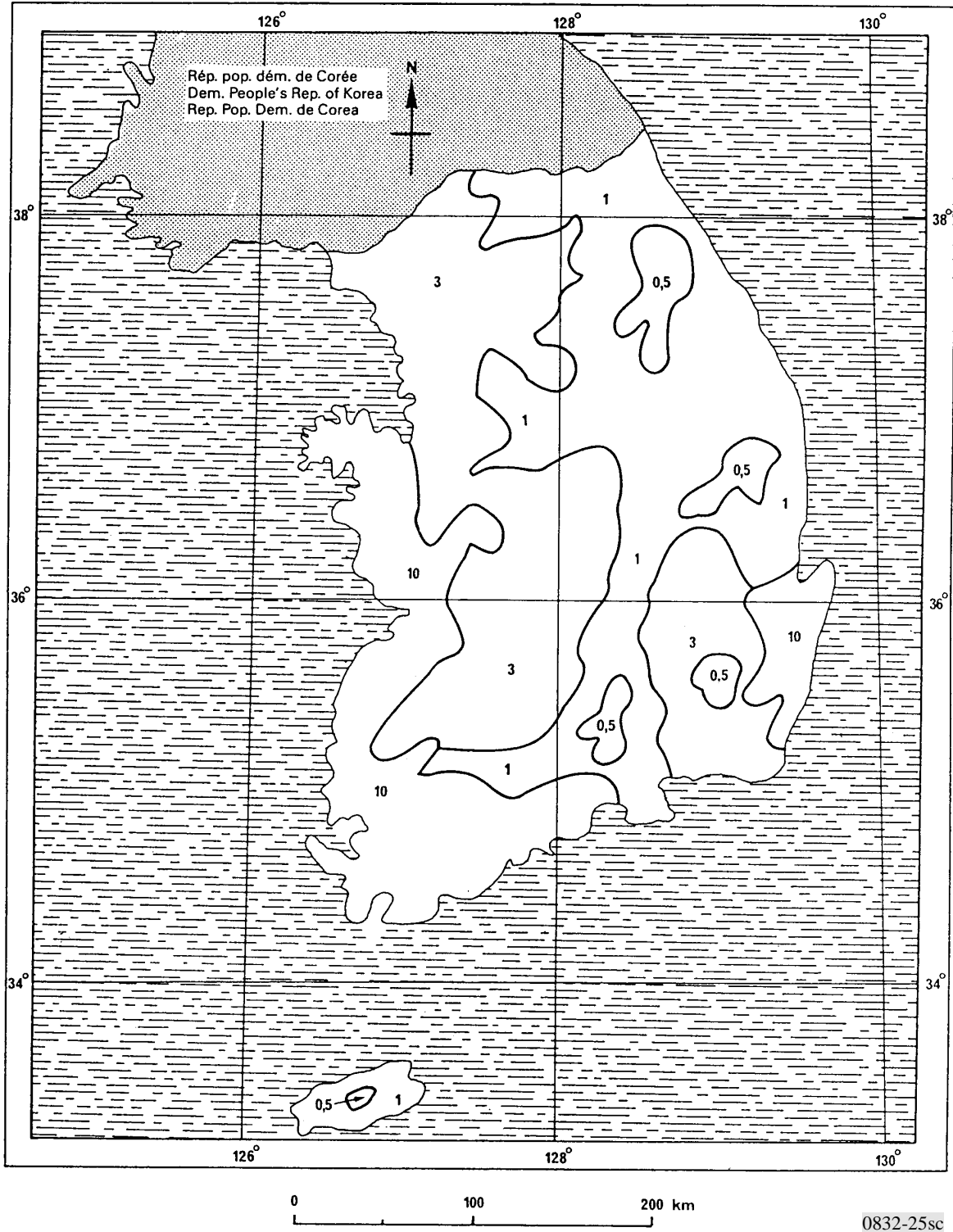


FIGURE 24
Bangladesh (République populaire du)



0832-24sc

FIGURE 25
Corée (République de)



0832-25sc

FIGURE 26
Inde (République de l')

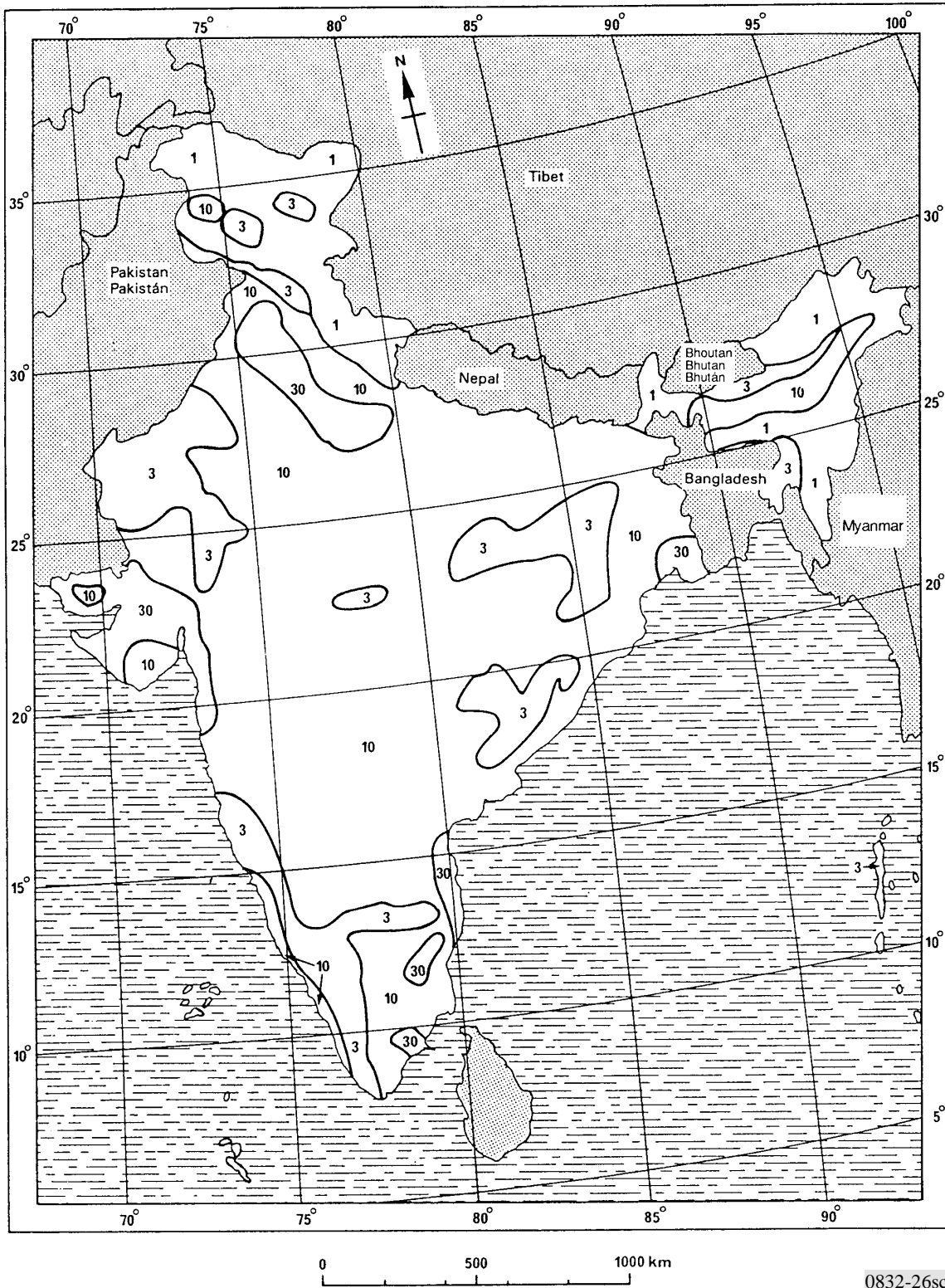
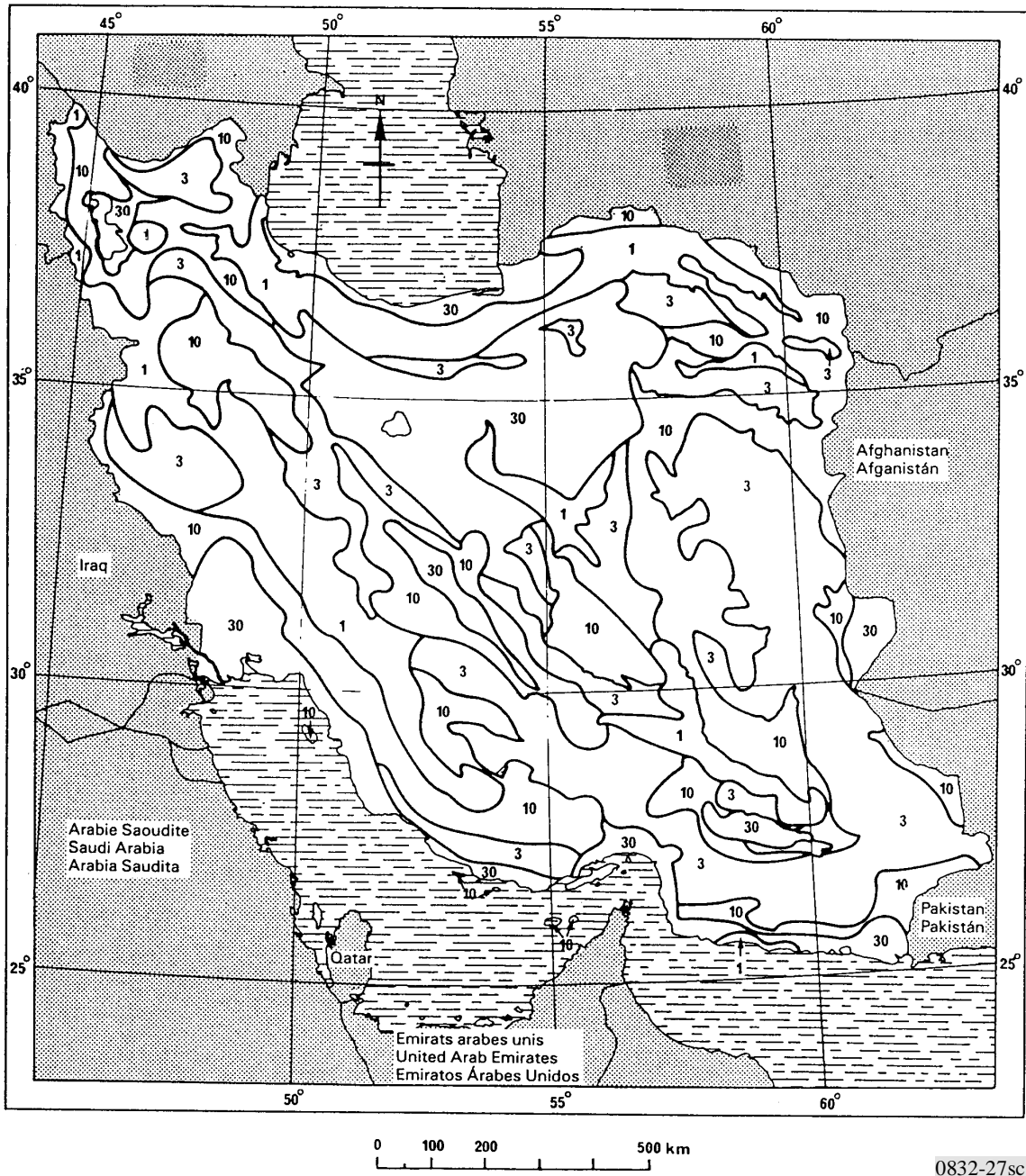


FIGURE 27
Iran (République islamique d')



0832-27sc

FIGURE 28
Israël (Etat d')

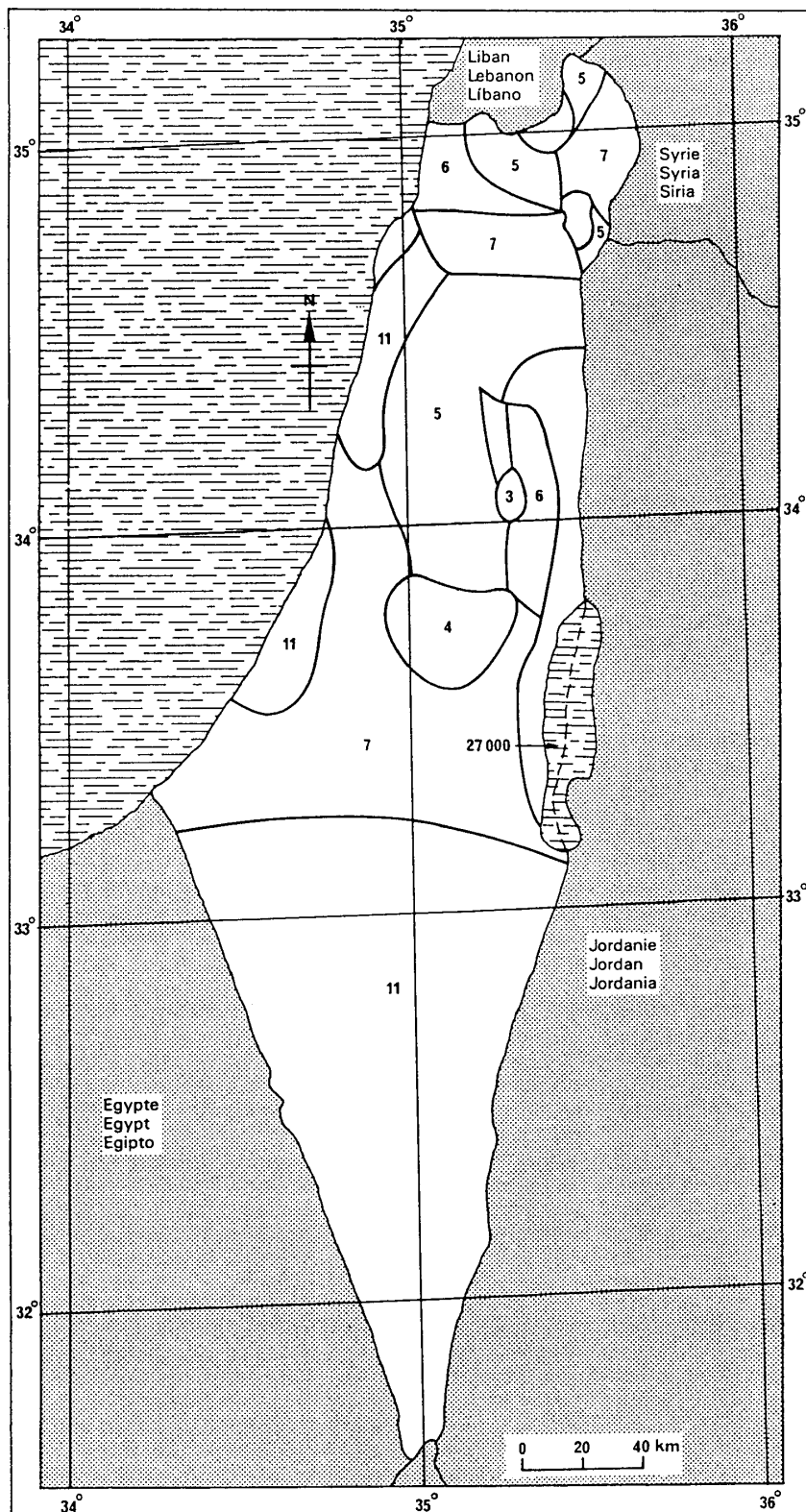


FIGURE 29
Japon

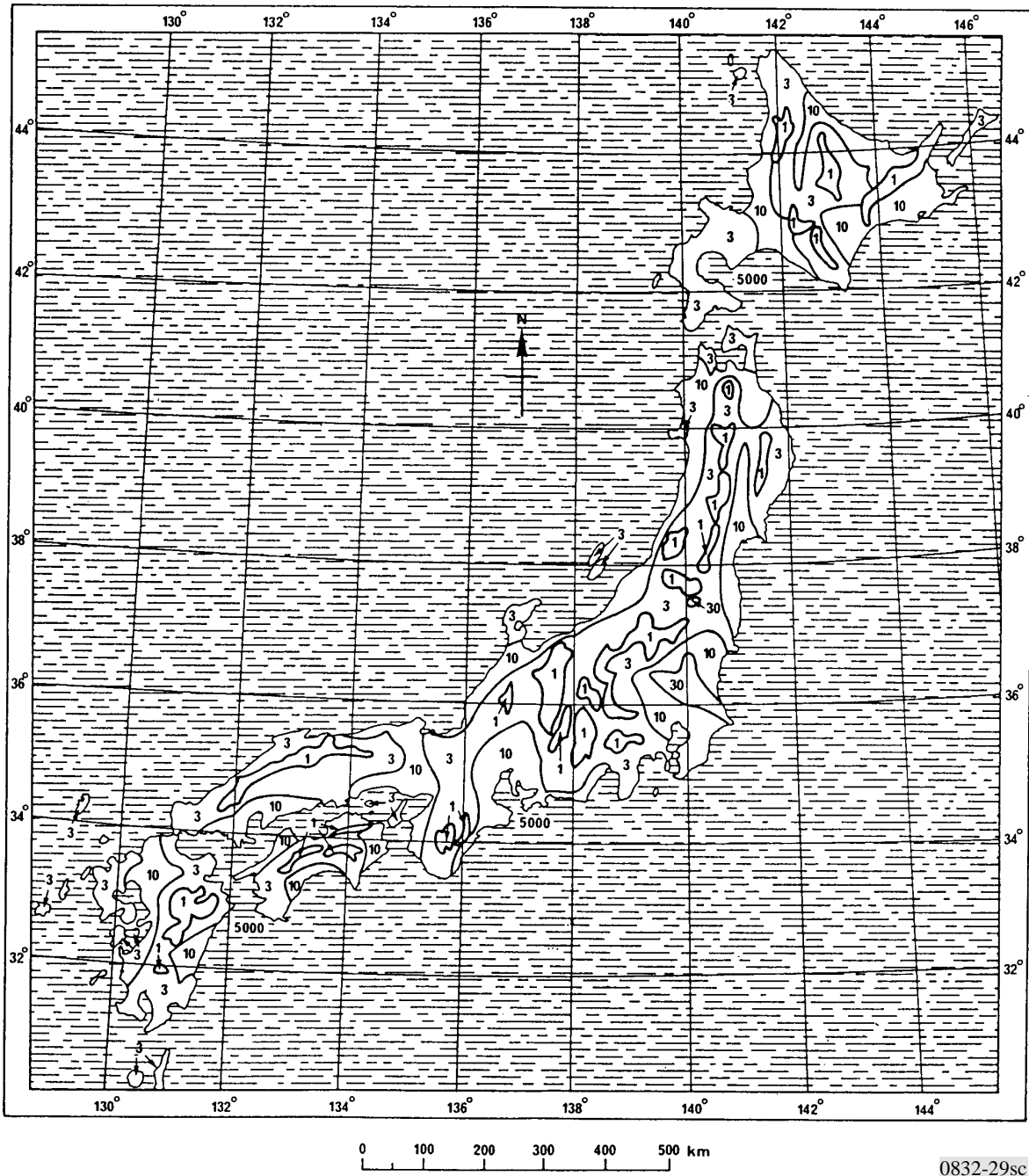
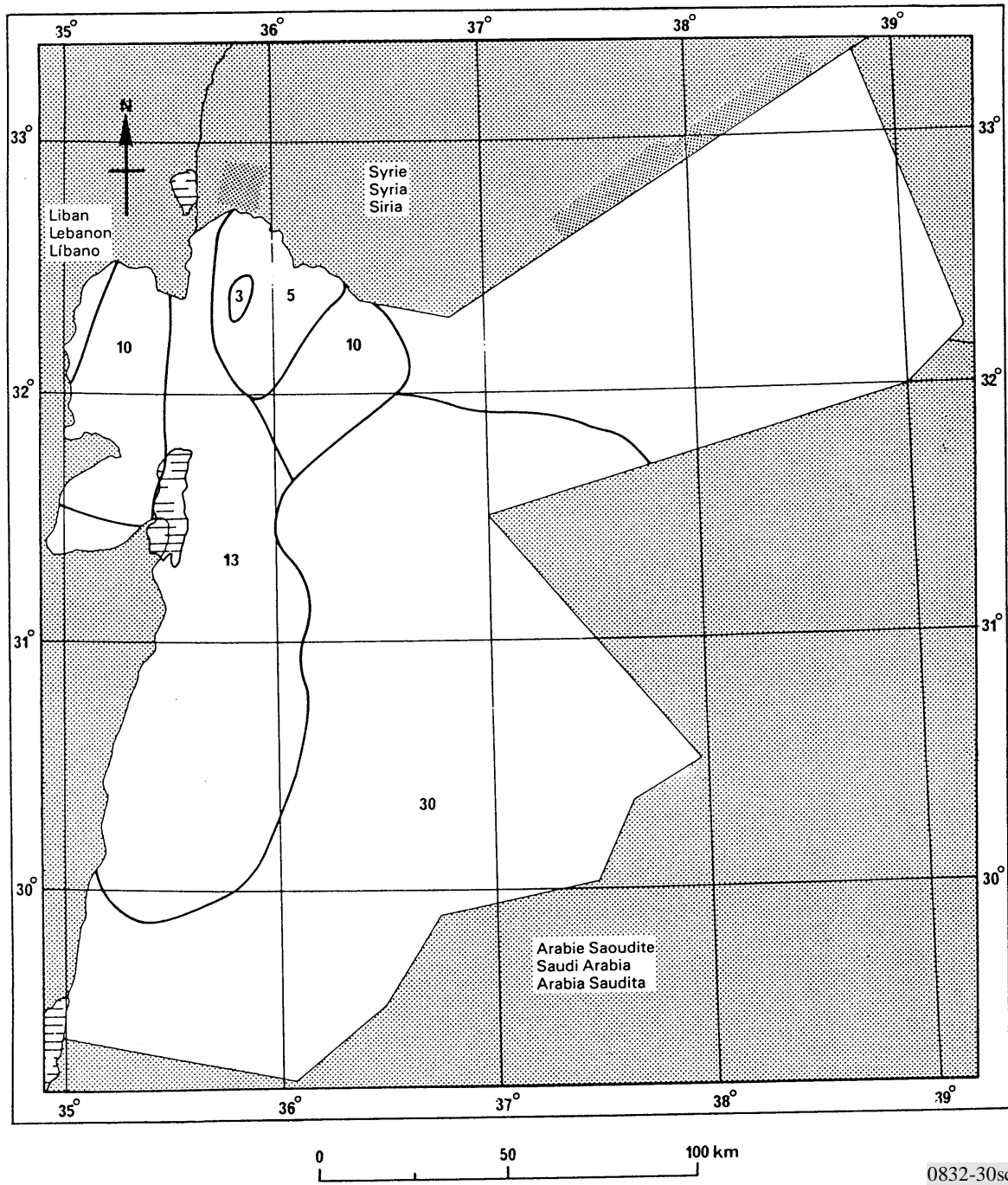
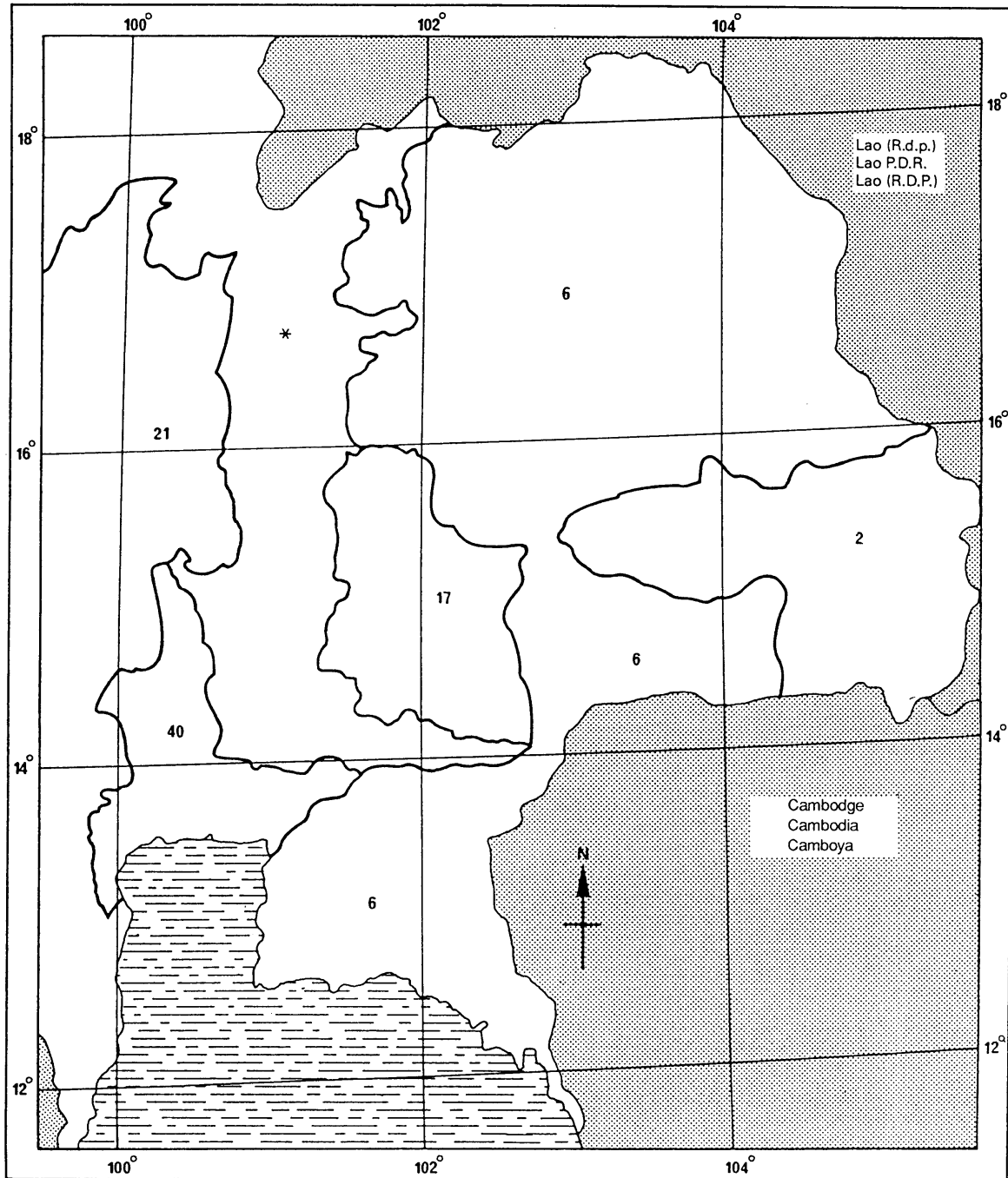


FIGURE 30
Jordanie (Royaume hachémite de)



0832-30sc

FIGURE 31
Thaïlande



0 100 200 km

0832-31sc

* Terrain montagneux.

FIGURE 32
Lesotho (Royaume du), Sudafricaine (République), Swaziland (Royaume du)

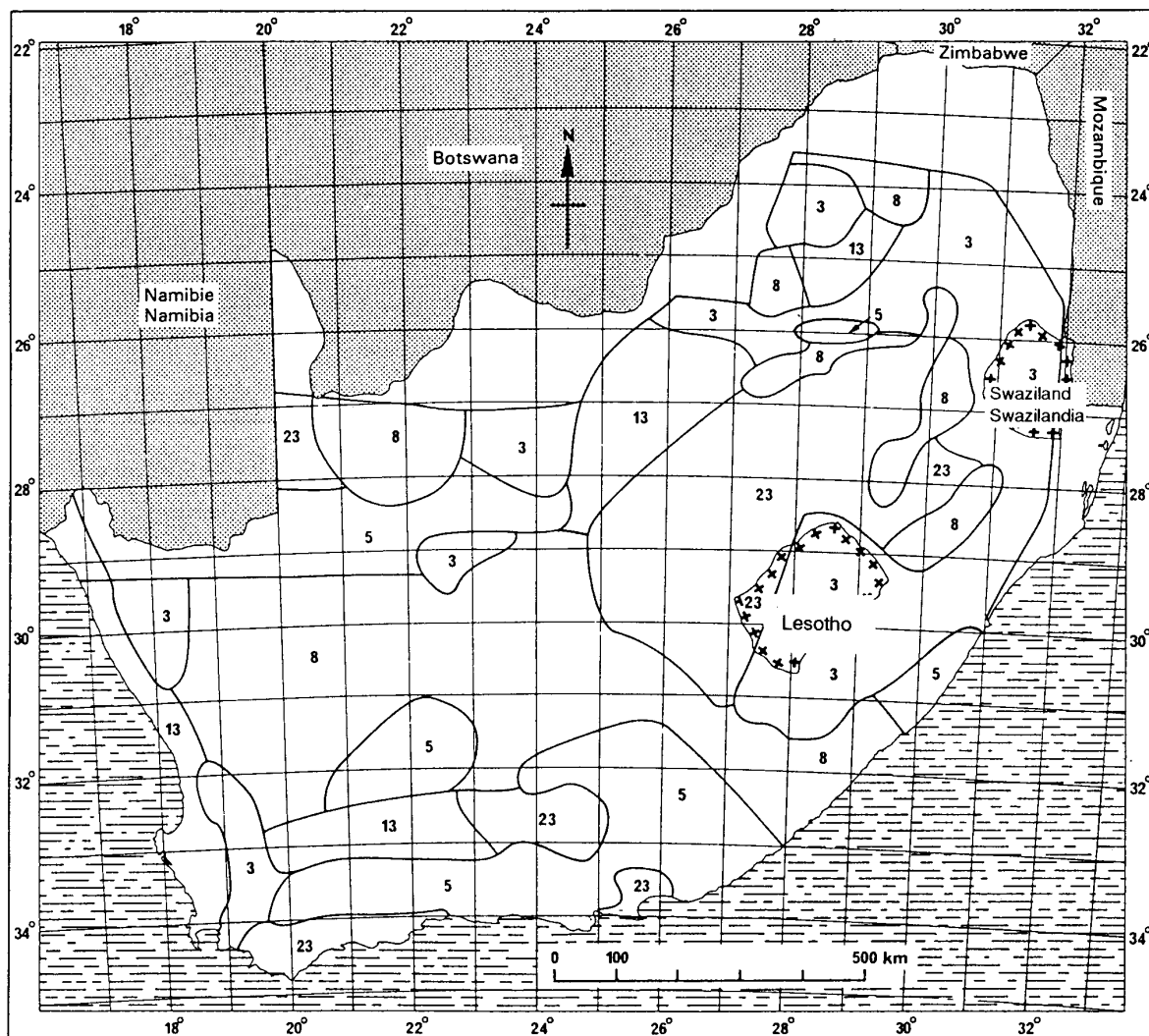


FIGURE 33
Botswana (République du)

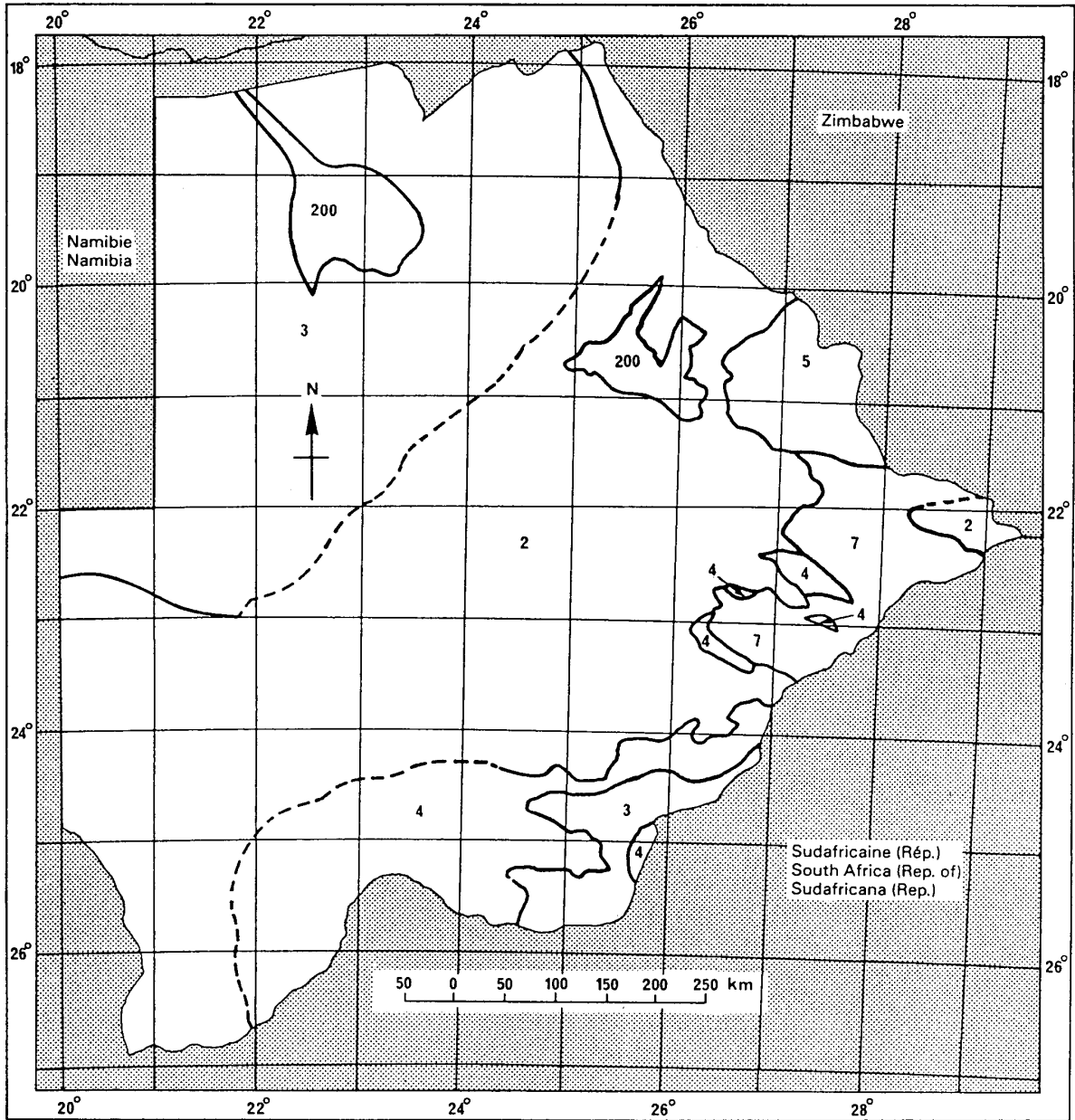
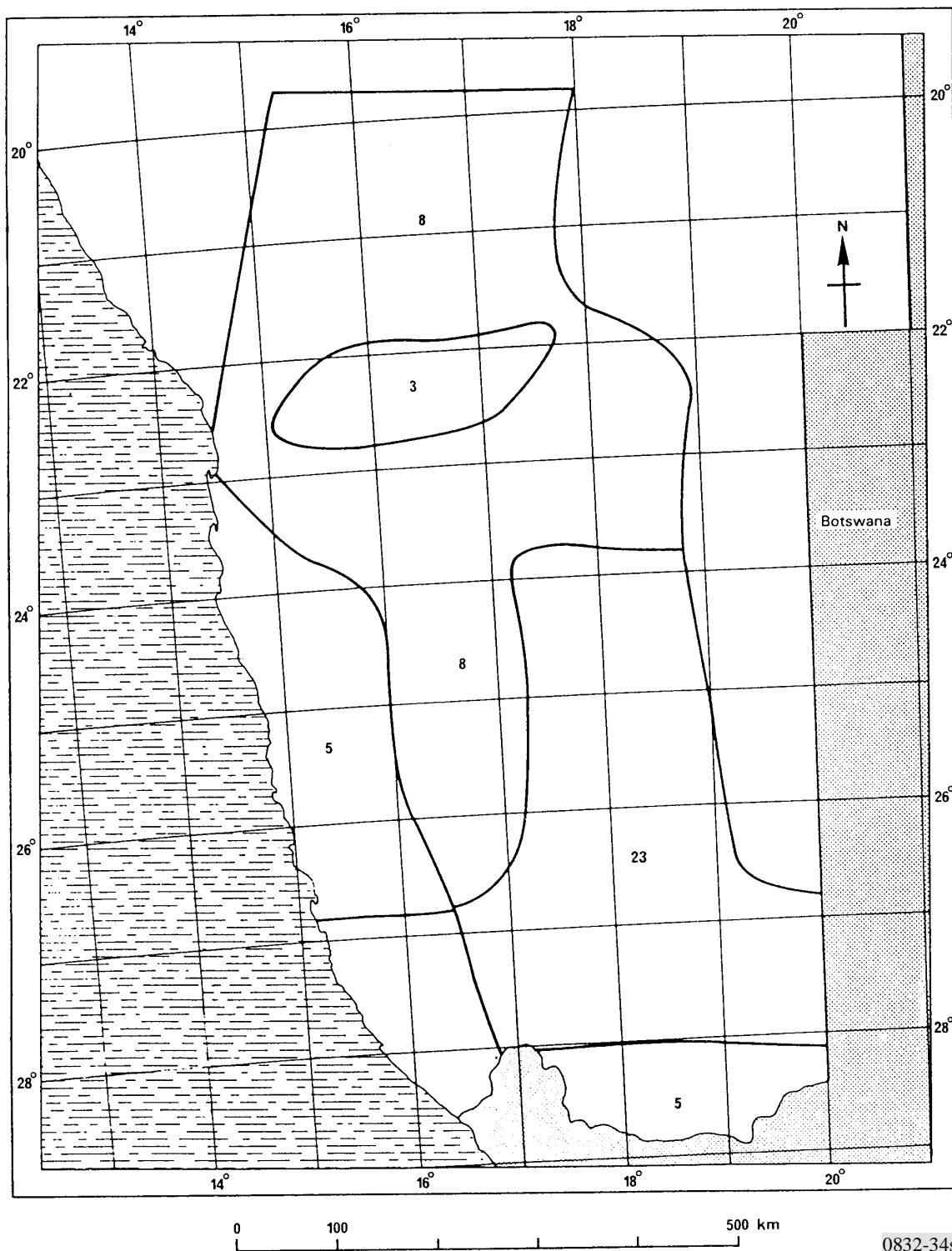
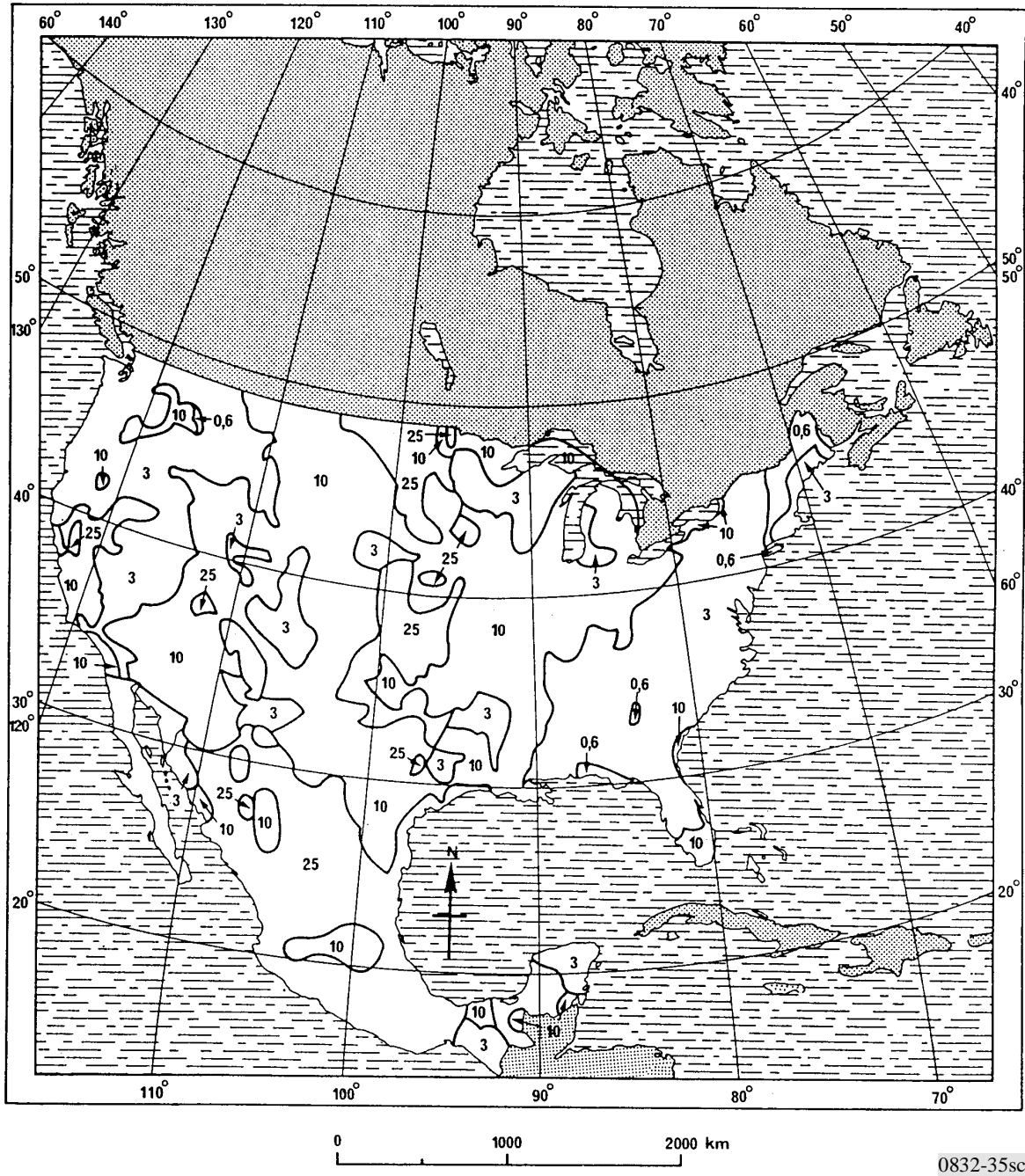


FIGURE 34
Namibie (République de)



0832-34sc

FIGURE 35
Amérique du Nord (excepté Canada)



0832-35sc

FIGURE 36
Amérique centrale

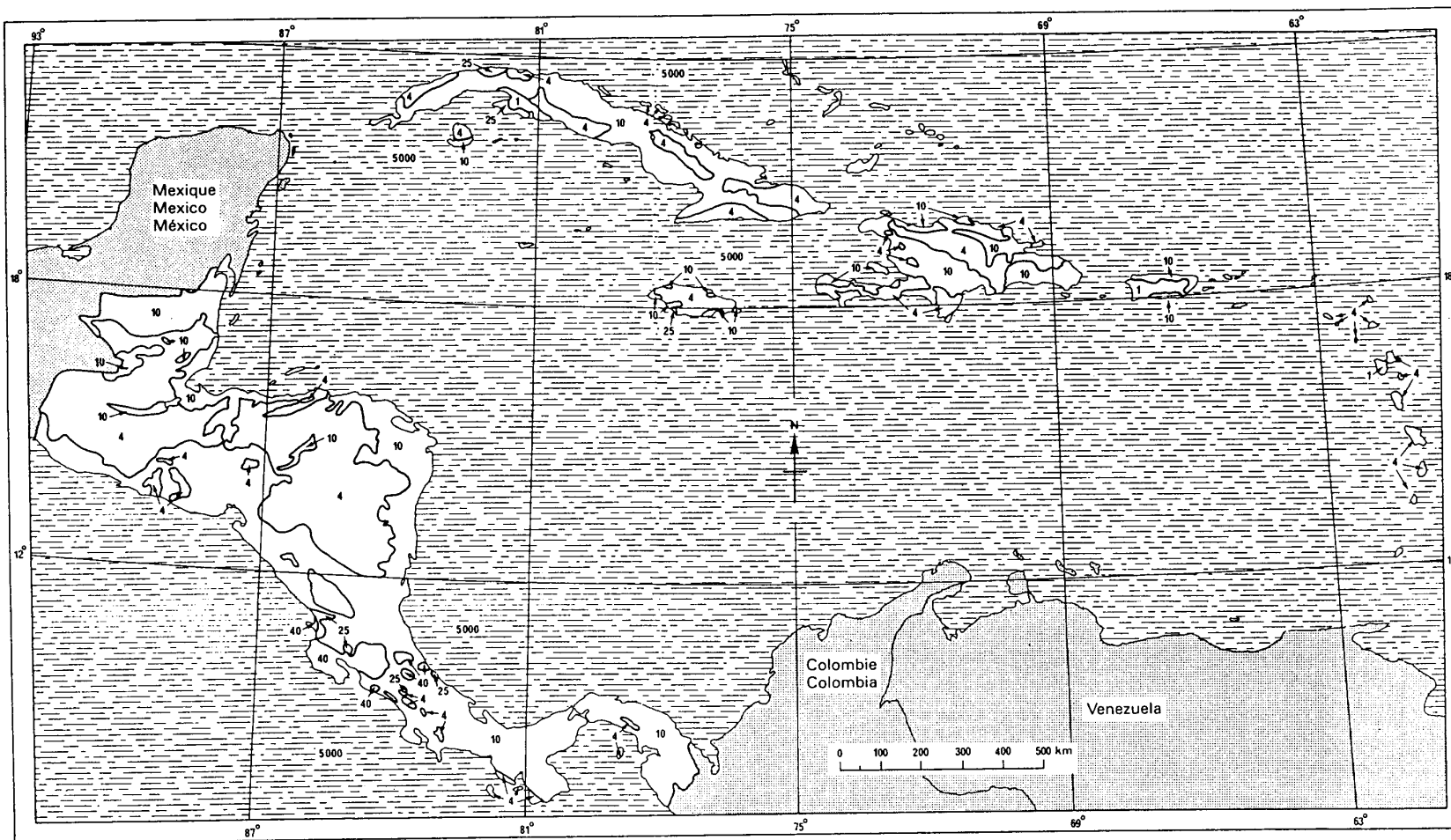


FIGURE 37

Canada

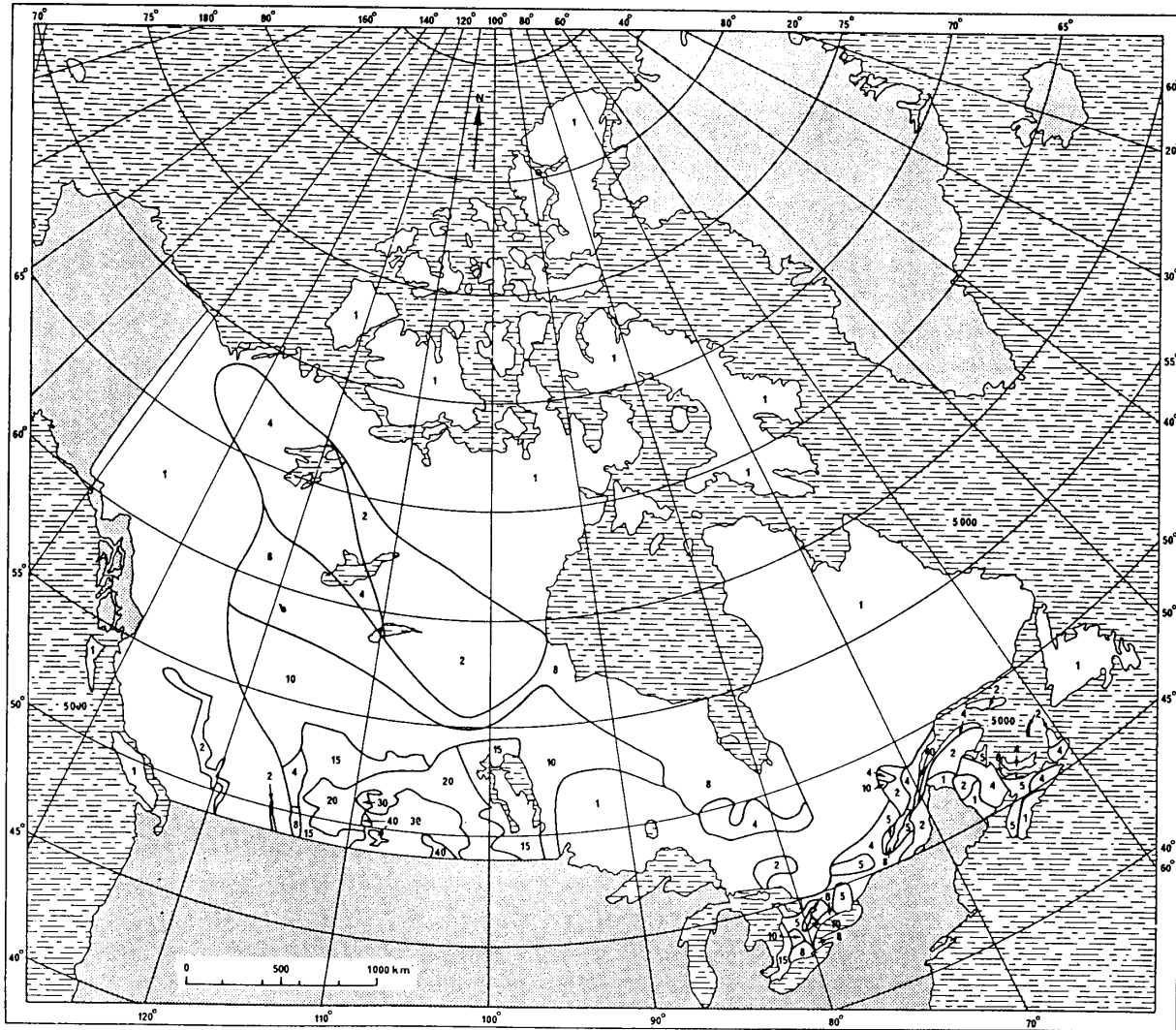


FIGURE 38
Amérique du Sud

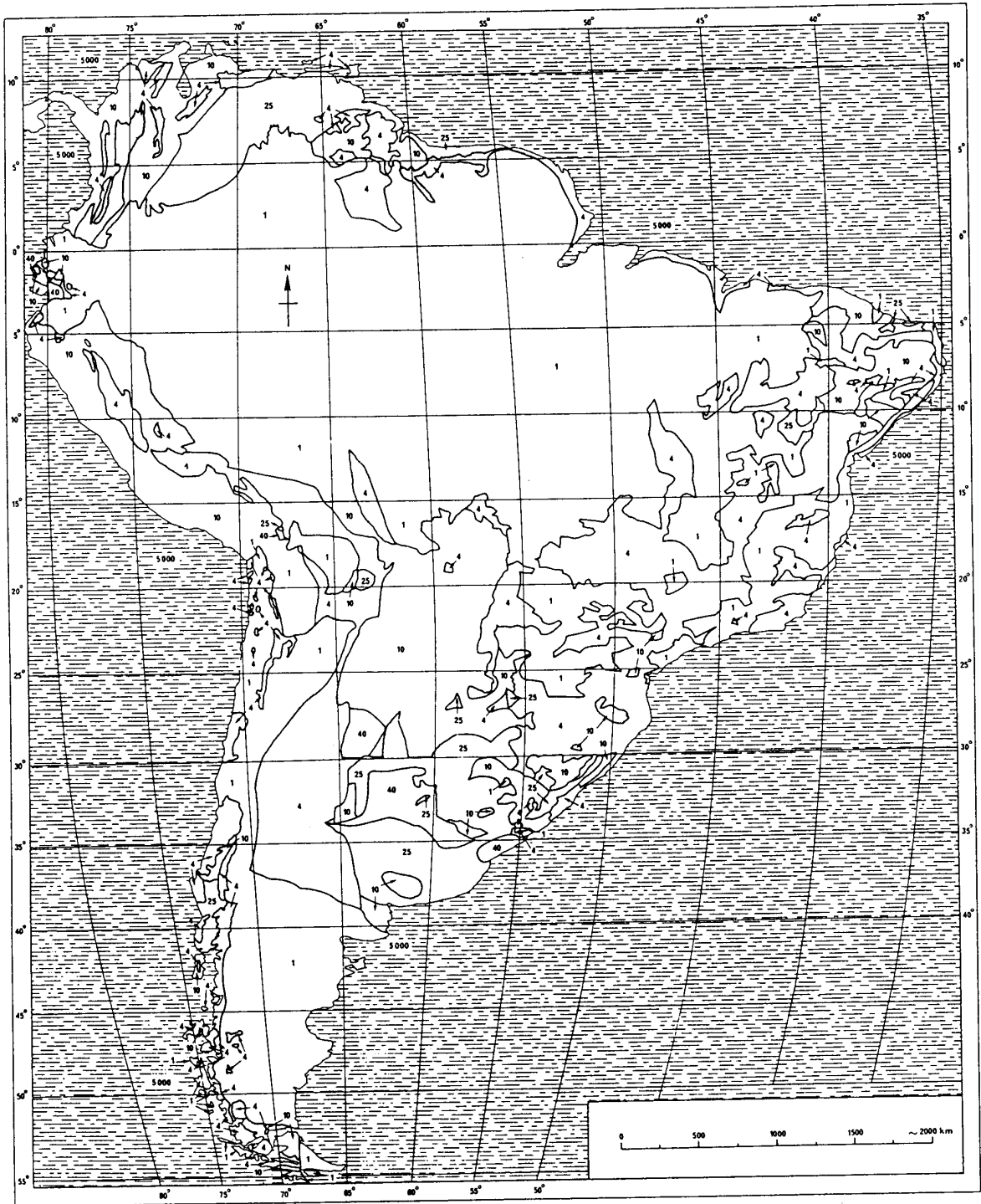
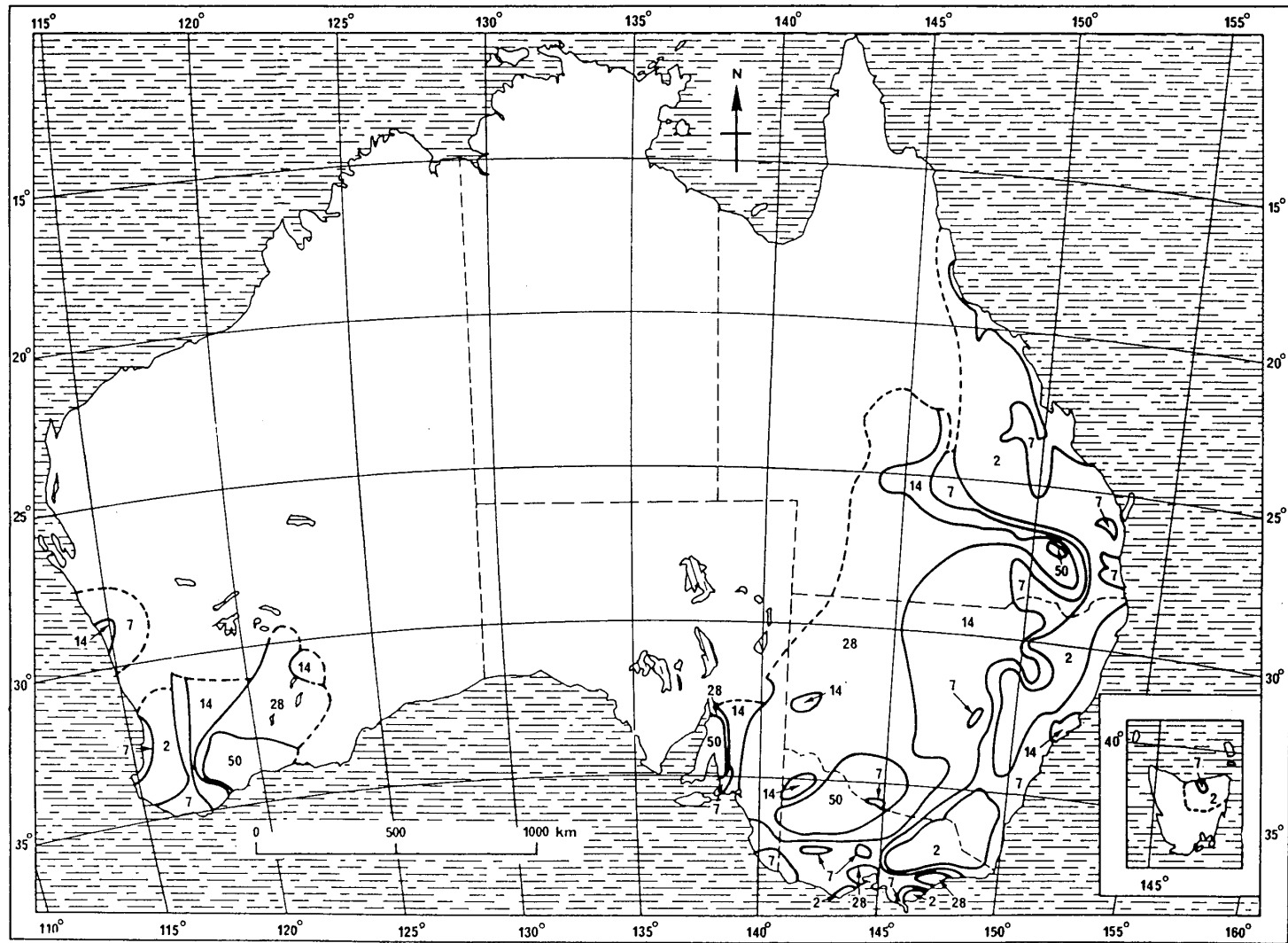
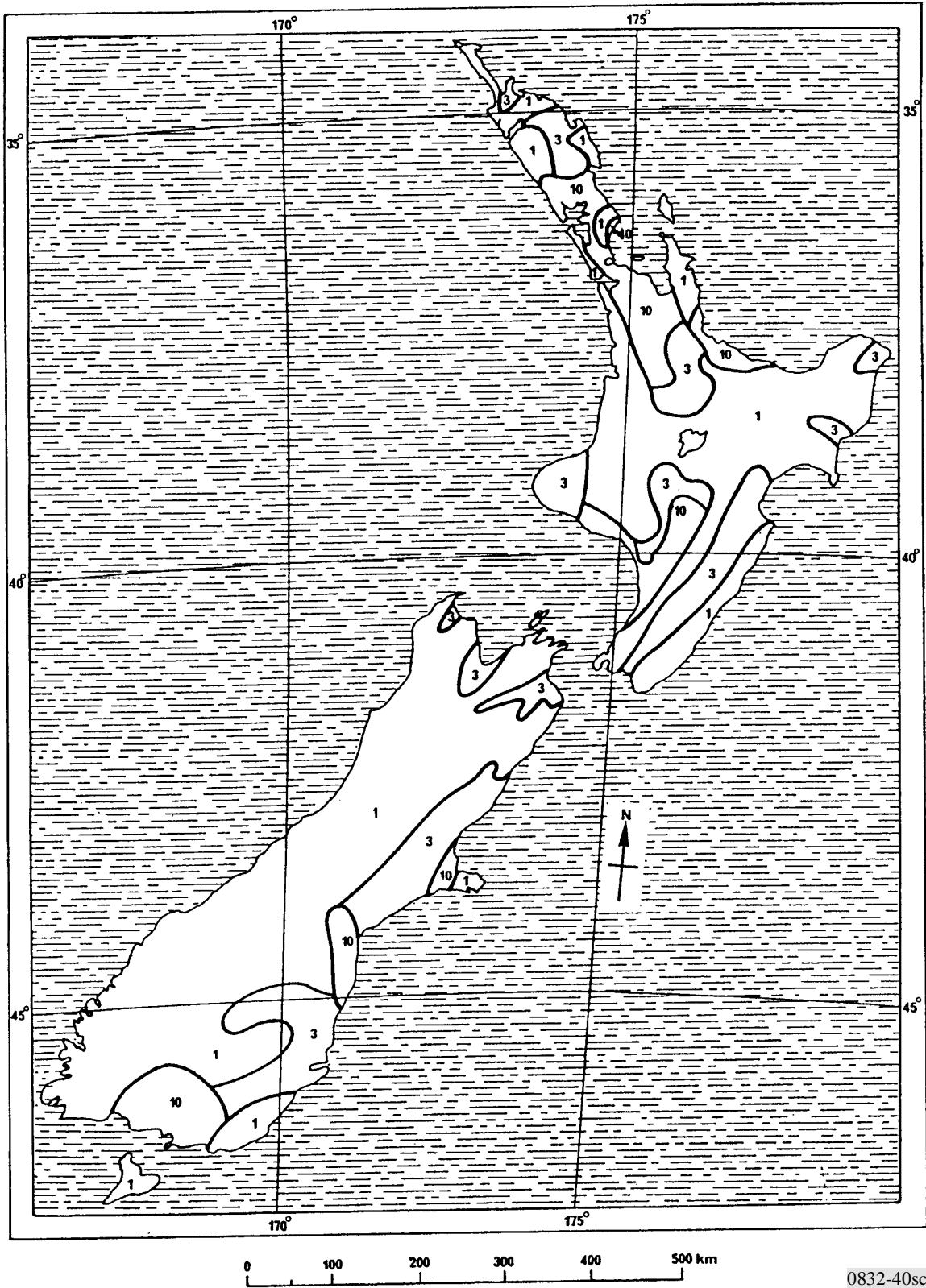


FIGURE 39
Australie



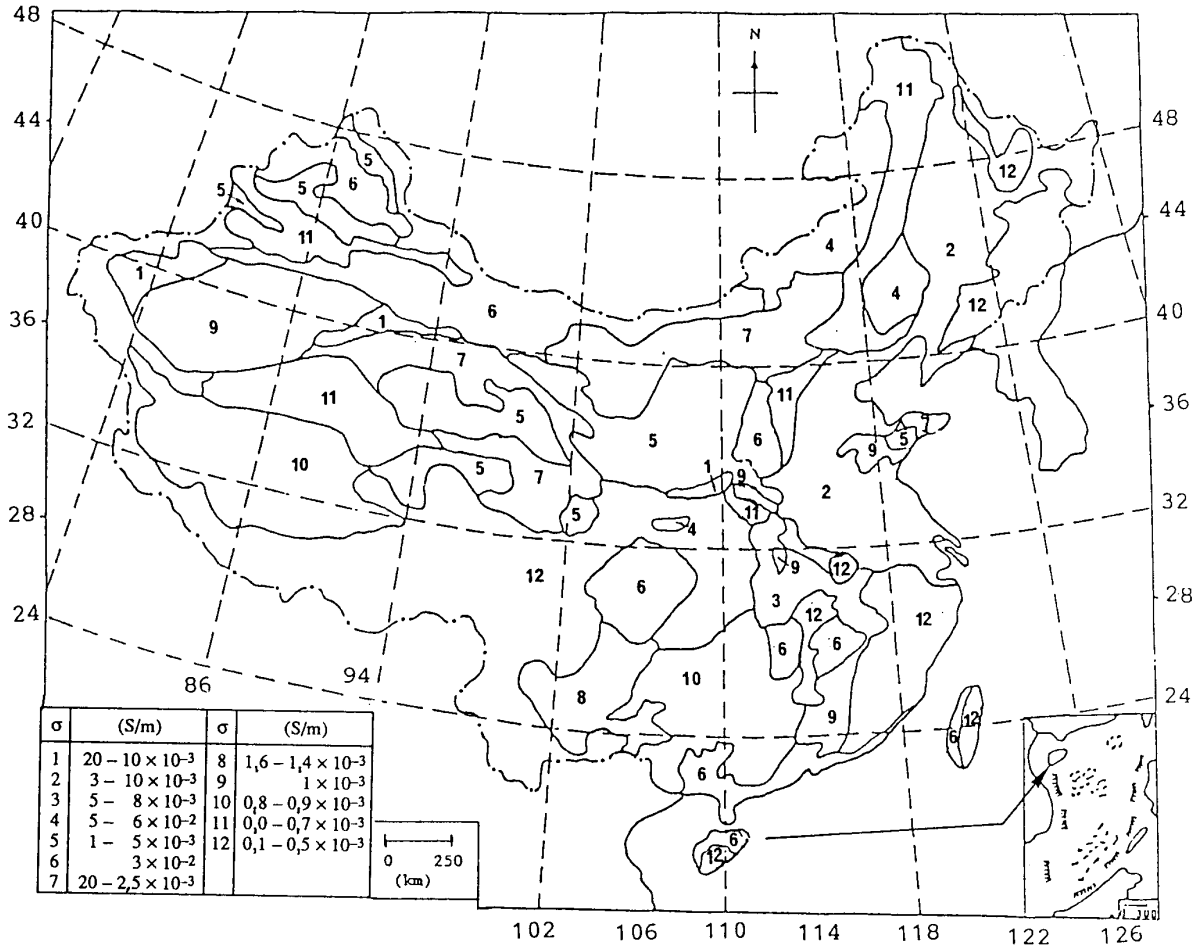
Rec. UIT-R P.832-1

FIGURE 40
Nouvelle-Zélande



0832-40sc

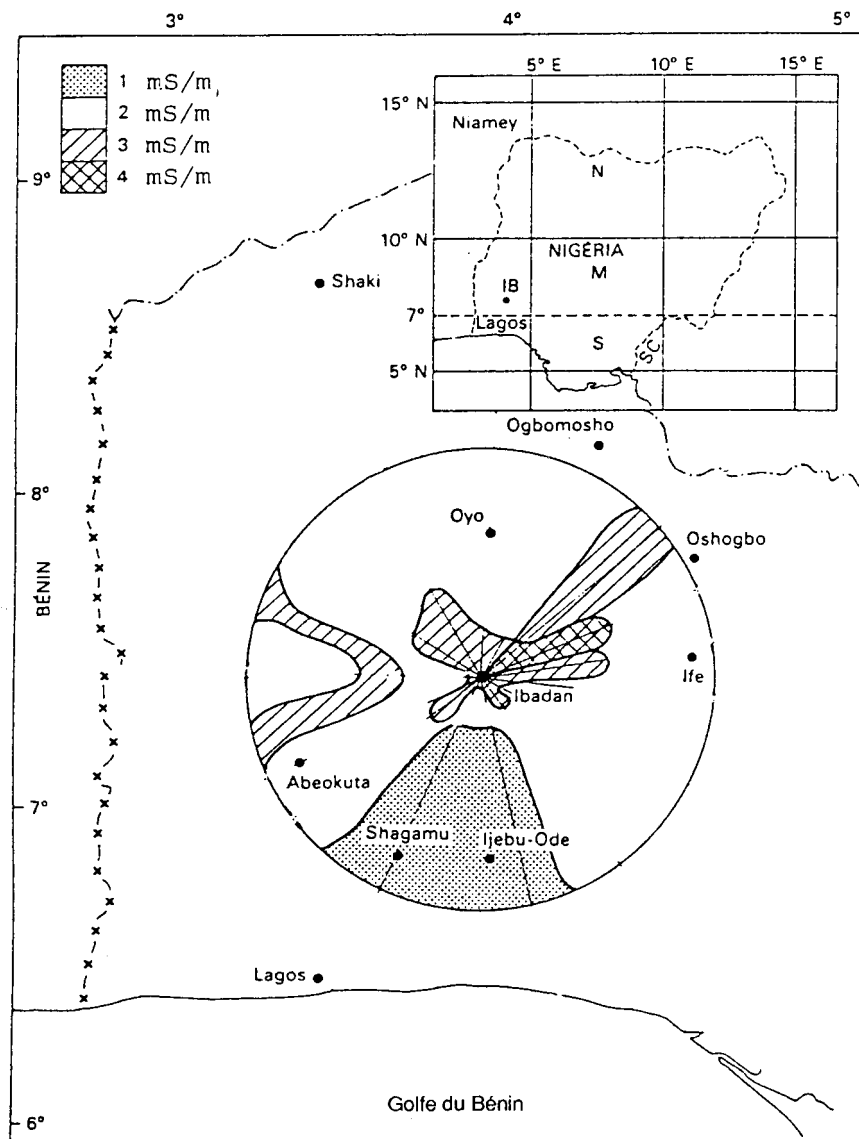
FIGURE 41
Chine (République populaire de)



Note 1 – La carte de conductivité du sol pour la Chine est fondée sur des mesures de signaux à 100 kHz et contrôlée par des signaux LORAN-C. Les valeurs s'appliquent aussi à la bande des ondes hectométriques.

FIGURE 42

Nigéria (République fédérale du)



Note 1 – La carte partielle de conductivité du sol pour le Nigéria provient d'un article publié dans le *Journal des télécommunications* de l'UIT, Vol. 55-II/1988.

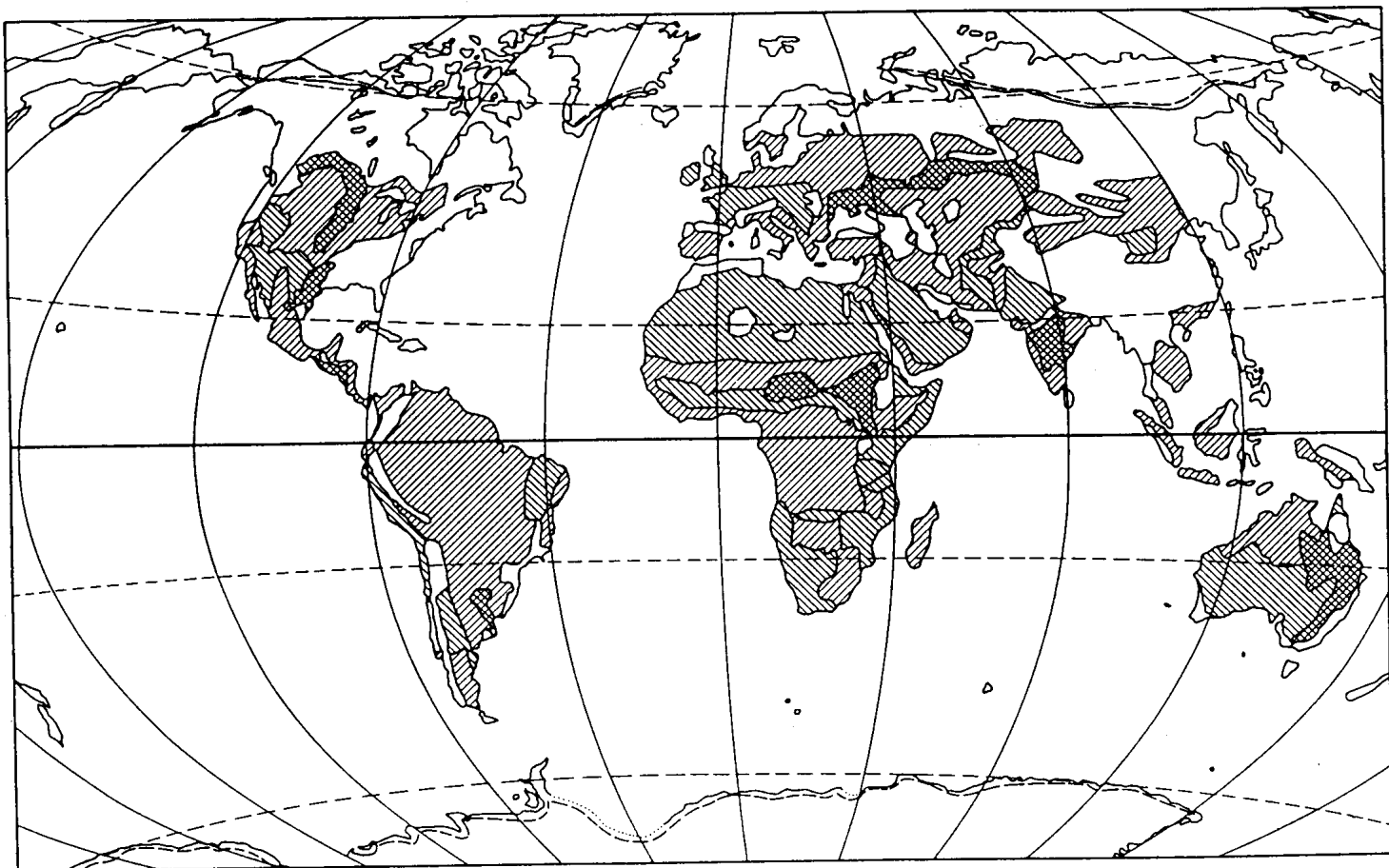
TABLEAU 2

Résultats des mesures pour l'Afghanistan

Lieu de mesure	Longitude	Latitude	Fréquence (kHz)	Conductivité du sol (mS/m)
Kabul	69° 11'	34° 31'	660 1 280	7,5 9,0
Jalalabad	70° 27'	34° 26'	660 1 280	3,0
Gardez	69° 13'	33° 35'	660 1 280	2,0
Ghazni	68° 25'	33° 33'	660 1 280	2,5
Kandahar	65° 43'	31° 37'	840	1,0
Herat	62° 12'	34° 21'	630	1,0

FIGURE 43

Carte mondiale provisoire des valeurs de conductivité du sol
aux ondes hectométriques pour les zones terrestres



Valeurs de σ



30 mS/m



15 mS/m



8 mS/m



3 mS/m



≤ 0,1 mS/m

0832-43sc